

# 第6章

## 拉普拉斯变换



# 拉普拉斯 Pierre Simon Laplace (1749 — 1827)

- 法国数学家，天文学家
- 最有代表性的专著有《天体力学》、《宇宙体系论》和《概率分析理论》
- 在数学和物理学方面的重要贡献：拉普拉斯变换和拉普拉斯方程
- 英国电气工程师赫维赛德（ Oliver Heaviside ）（ 1850 — 1925 ）提出的解决电路瞬态计算的运算微积分（运算术），行之有效而缺乏严格的证明。
- 拉普拉斯提出的积分为之提供了严密的基础。

# 问题：

## □ 为什么要引入拉普拉斯变换？

- 信号分析中遇到了原有方法无法解决的问题
- 原有分析方法有什么缺陷
- 新的方法能更高效地解决问题

## □ 傅里叶变换的局限

- 狄利克雷条件  $\rightarrow f(t)$  在  $(-\infty, +\infty)$  区间绝对可积
- 阶跃函数、三角函数等不满足绝对可积的条件，经典意义上的傅立叶变换不存在
- 引入奇异函数后，使得傅立叶变换能够扩展到一些非绝对可积的函数(比方说  $\cos(t)$ )
- 傅立叶变换中包含奇异函数，使得运算不方便

# 拉普拉斯变换的优点：

- ▣ 求解微分方程时，可自动地将初始条件包含进去；
- ▣ 可把微分、积分的运算转化为代数运算；
- ▣ 对指数函数、某些超越函数、有不连续点的函数处理很简便；
- ▣ 可引入系统函数的概念，通过分析零极点，可以直观地分析系统的性能。

# 本章主要内容

- 拉普拉斯变换的概念和性质
- 逆变换
- 用拉普拉斯变换求解线性常系数微分方程和线性时不变电路
- 系统函数
- 系统频率响应特性

□ 傅立叶变换中存在的主要问题:

■  $f(t)$  在  $(-\infty, +\infty)$  区间绝对可积的问题

$$F(\omega) = \mathcal{F}[f(t)] = \int_{-\infty}^{\infty} f(t) e^{-j\omega t} dt$$

$f(t)$  发散



衰减因子  $e^{-\sigma t}$   $\sigma > 0$



$f(t)e^{-\sigma t}$



绝对可积

## 双边拉普拉斯变换及其收敛域

对于函数  $f(t)$ ，给它乘以一个衰减因子  $e^{-\sigma t}$ ，若能使  $f(t)e^{-\sigma t}$  绝对可积，则存在傅立叶变换

$$F_b(\omega) = \mathcal{F}[f(t)e^{-\sigma t}] = \int_{-\infty}^{\infty} f(t)e^{-\sigma t}e^{-j\omega t} dt$$

令  $\sigma + j\omega = s$ ，有

$$\underline{F_b(s) = F_b(\omega) = \int_{-\infty}^{\infty} f(t)e^{-st} dt}$$

双边拉普拉斯正变换

$$F_b(s) = F_b(\omega) = \int_{-\infty}^{\infty} f(t)e^{-st} dt$$

由傅立叶逆变换  $\mathcal{F}^{-1}[F_b(\omega)] = ?$

→  $\mathcal{F}^{-1}[F_b(\omega)] = f(t)e^{-\sigma t} = \frac{1}{2\pi} \int_{-\infty}^{\infty} F_b(\omega)e^{j\omega t} d\omega$

→  $f(t) = \frac{1}{2\pi} \int_{-\infty}^{\infty} F_b(\omega)e^{\sigma t} e^{j\omega t} d\omega$

令  $s = \sigma + j\omega \rightarrow j d\omega = ds$

→  $f(t) = \frac{1}{2\pi j} \int_{\sigma-j\infty}^{\sigma+j\infty} F_b(s)e^{st} ds$

---

双边拉普拉斯逆变换



# 双边拉普拉斯变换定义：

□ 正变换：  $F_b(s) = \mathcal{L}_b[f(t)] = \int_{-\infty}^{\infty} f(t)e^{-st} dt$

□ 逆变换：  $f(t) = \mathcal{L}_b^{-1}[F_b(s)] = \frac{1}{2\pi j} \int_{\sigma-j\infty}^{\sigma+j\infty} F_b(s)e^{st} ds$

双边拉普拉斯变换是把时域信号变换到复频域， $s=\sigma+j\omega$ 为复频率， $s$  取值的范围称为 $s$  平面。

Laplace Transform

# 双边拉普拉斯变换的收敛域

---

首先，衰减因子  $e^{-\sigma t}$  并不总是起衰减作用。

- 当  $\sigma > 0$  时，它在  $t > 0$  区间起衰减作用，而在  $t < 0$  区间起发散作用；
- 当  $\sigma < 0$  时，它在  $t < 0$  区间起衰减作用，而在  $t > 0$  区间起发散作用。

因此，双边拉普拉斯变换依然存在积分收敛问题。

把  $f(t)$  分成两个区间讨论积分收敛问题, 即

$$f(t) = \begin{cases} f_1(t) & t \geq 0 \\ f_2(t) & t < 0 \end{cases}$$

$f(t)$  的双边拉普拉斯变换可表示为

$$F_b(s) = \int_{-\infty}^0 f_2(t) e^{-st} dt + \int_0^{\infty} f_1(t) e^{-st} dt$$

称前项积分为  $f(t)$  的左边拉氏变换,  
称后项积分为  $f(t)$  的右边拉氏变换。

$$F_b(s) = \int_{-\infty}^0 f_2(t)e^{-st} dt + \int_0^{\infty} f_1(t)e^{-st} dt$$

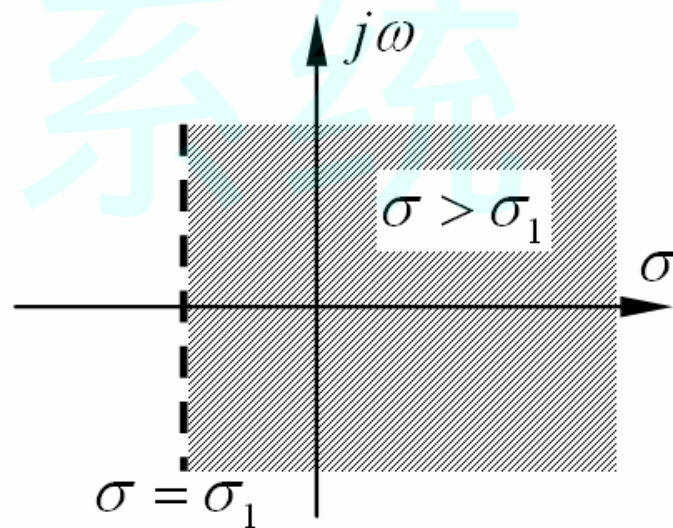
在  $t > 0$  区间(右边拉普拉斯变换)

若  $t \rightarrow +\infty$  时,  $f_1(t)$  不是以高于指数阶的速度发散

必然存在  $\sigma > \sigma_1$ , 使得函数  $f(t)e^{-\sigma t}$  在  $(0, +\infty)$  区间绝对可积。

第二项  $\int_0^{\infty} f_1(t)e^{-st} dt$  收敛,  $f(t)$  的右边拉氏变换存在。

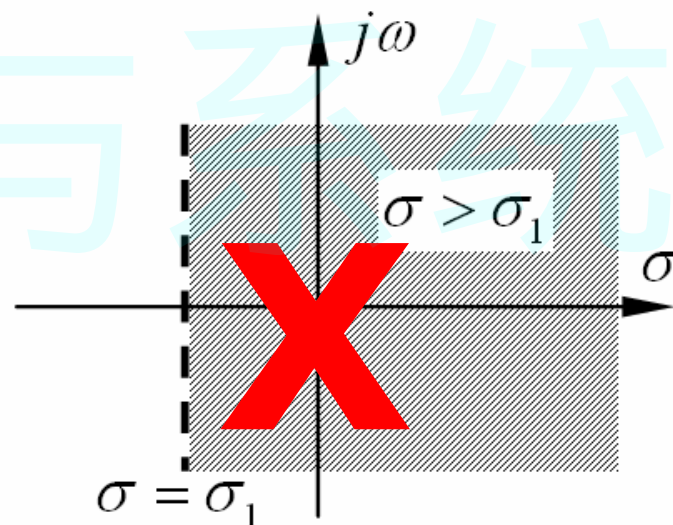
称  $\sigma > \sigma_1$  是  $f(t)$  的右边拉氏变换的**收敛域**。



例如  $f_1(t) = e^{t^2}$

不存在这样的 $\sigma_1$ ，满足当 $\sigma > \sigma_1$ 时，使  
收敛，所以 $f_1(t)$ 的右边拉氏变换不存在。

$$\int_0^{\infty} f_1(t) e^{-st} dt$$



$$F_b(s) = \int_{-\infty}^0 f_2(t)e^{-st} dt + \int_0^{\infty} f_1(t)e^{-st} dt$$

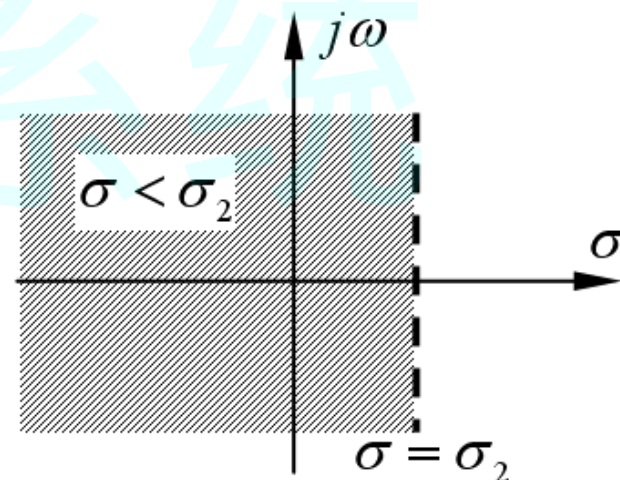
同样，对于 $t < 0$ 的左边拉氏变换(第一项)

若 $t \rightarrow -\infty$ 时， $f_2(t)$ 不是以高于指数阶的速度发散

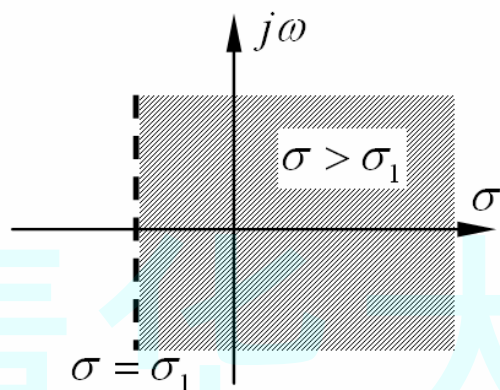
必然存在 $\sigma < \sigma_2$ ，使得函数 $f(t)e^{-\sigma t}$ 在 $(-\infty, 0)$ 区间绝对可积。

第一项 $\int_0^{\infty} f_2(t)e^{-st} dt$ 收敛， $f(t)$ 的左边拉氏变换存在。

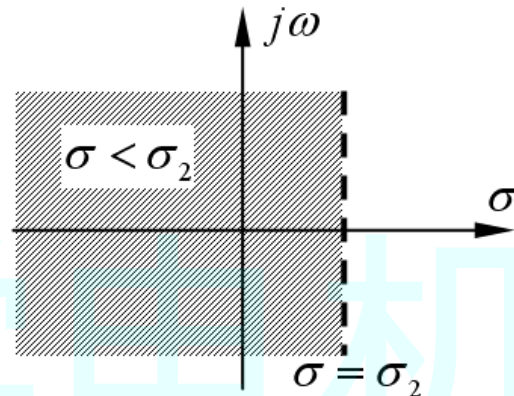
称 $\sigma < \sigma_2$ 是 $f(t)$ 的左边拉氏变换的**收敛域**。



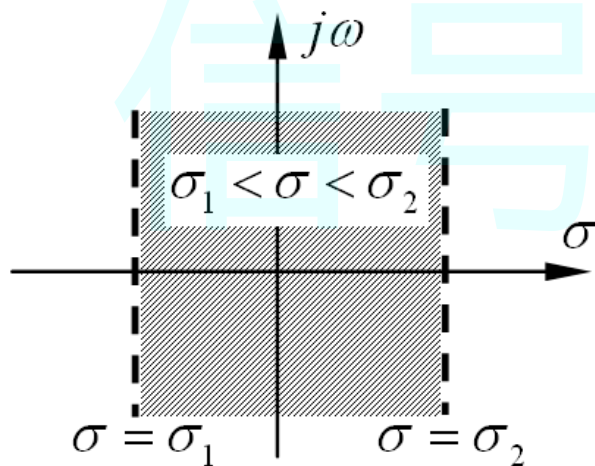
很显然，要使 $f(t)$ 的双边拉氏变换存在，必须其左边拉氏变化和右边拉氏变换都存在。



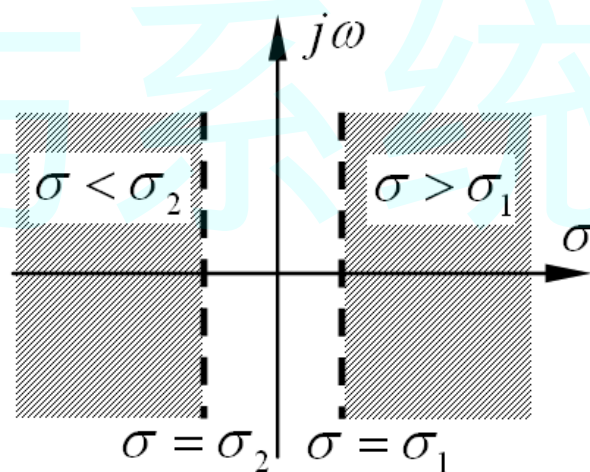
右边



左边

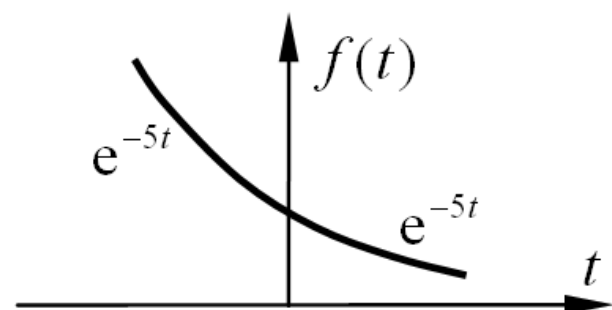


存在

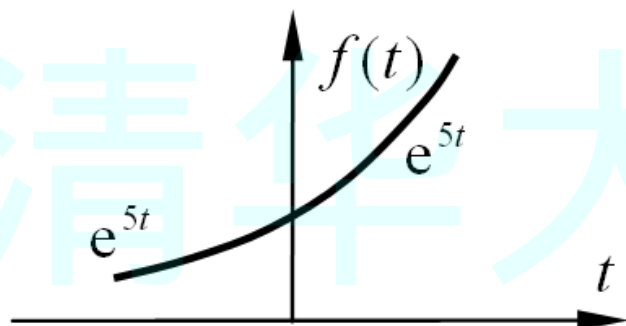


不存在

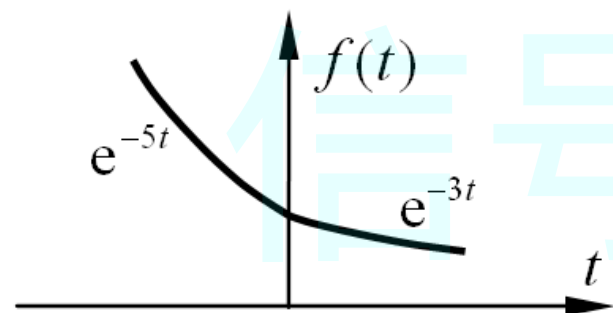
例 判断如图所示各信号的双边拉氏变换是否存在，以及存在时的收敛域。



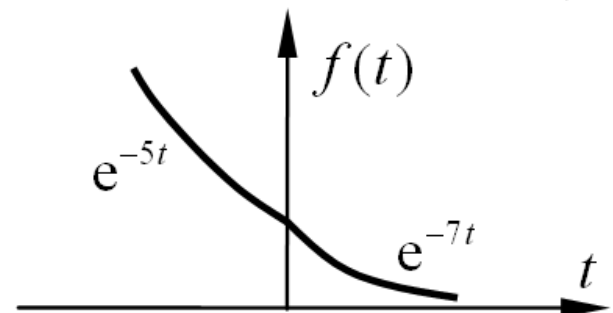
右边拉普拉斯变换的收敛域:  $\sigma > -5$   
左边拉普拉斯变换的收敛域:  $\sigma < -5$   
无公共收敛域, 双边拉普拉斯变换不存在



右边拉普拉斯变换的收敛域:  $\sigma > 5$   
左边拉普拉斯变换的收敛域:  $\sigma < 5$   
无公共收敛域, 双边拉普拉斯变换不存在



右边拉普拉斯变换的收敛域:  $\sigma > -3$   
左边拉普拉斯变换的收敛域:  $\sigma < -5$   
无公共收敛域, 双边拉普拉斯变换不存在



右边拉普拉斯变换的收敛域:  $\sigma > -7$   
左边拉普拉斯变换的收敛域:  $\sigma < -5$   
双边拉普拉斯变换存在, 收敛域  $-7 < \sigma < -5$



# 拉普拉斯变换及其收敛域

实际中大量遇到的是因果信号，即信号 $f(t)$ 只出现在 $t \geq 0$ 的时间区间，可表示为

$$f(t) = f(t)u(t)$$

将此式代入双边拉普拉斯变换，得到单边拉普拉斯变换，简称为拉普拉斯变换。拉普拉斯正变换：

$$F(s) = \mathcal{L}[f(t)] = \int_{0_-}^{\infty} f(t)e^{-st} dt$$

拉普拉斯逆变换：

$$f(t) = \mathcal{L}^{-1}[F(s)] = \frac{1}{2\pi j} \int_{\sigma-j\infty}^{\sigma+j\infty} F(s)e^{st} ds$$

这实际是右边拉普拉斯变换

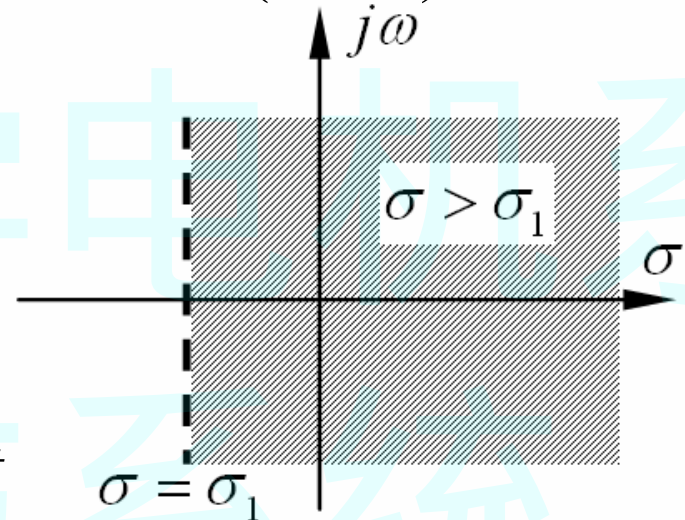
## □ 收敛域

若 $t \rightarrow +\infty$ 时,  $f_1(t)$ 不是以高于指数阶的速度发散

必然存在 $\sigma > \sigma_1$ , 使得函数  $f(t)e^{-\sigma t}$  在 $(0, +\infty)$ 区间绝对可积。

称 $\sigma > \sigma_1$ 是 $f(t)$ 的右边拉氏变换的**收敛域**。

$$F(s) = \mathcal{L}[f(t)] = \int_{0_-}^{\infty} f(t)e^{-st} dt$$



## □ 积分下限 $0_-$

■ 变换中包含 $t=0$ 时刻的状态跳变

□ 拉普拉斯变换的实际应用非常广泛, 双边拉普拉斯变换的应用则很少。

# 几种简单函数拉氏变换的收敛域

□ (1) 能量有限的时限信号

—— 收敛域为整个s平面;

□ (2)  $u(t)$  ——  $\sigma > 0$   $\lim_{t \rightarrow \infty} e^{-\sigma t} = 0$

□ (3)  $t^m$  ——  $\sigma > 0$   $\lim_{t \rightarrow \infty} t^m \cdot e^{-\sigma t} = 0$

# 常见信号的拉普拉斯变换

## 1. 指数函数

指数函数  $f(t) = e^{-\alpha t}$  的拉普拉斯变换为

$$F(s) = \mathcal{L}[e^{-\alpha t}] = \int_0^{\infty} e^{-\alpha t} e^{-st} dt = - \left. \frac{e^{-(s+\alpha)t}}{s+\alpha} \right|_0^{\infty} = \frac{1}{s+\alpha}$$

## 2. 单位阶跃函数

单位阶跃函数  $f(t) = u(t)$  的拉普拉斯变换为

$$F(s) = \mathcal{L}[u(t)] = \int_0^{\infty} e^{-st} dt = - \left. \frac{e^{-st}}{s} \right|_0^{\infty} = \frac{1}{s}$$

### 3. $t$ 的整数次幂函数

幂函数  $f(t) = t^n$  ( $n$  为整数) 的拉普拉斯变换为

$$F(s) = \mathcal{L}[t^n] = \int_0^{\infty} t^n e^{-st} dt$$

用分部积分法得

$$\int_0^{\infty} t^n e^{-st} dt = -\frac{t^n}{s} e^{-st} \Big|_0^{\infty} + \frac{n}{s} \int_0^{\infty} t^{n-1} e^{-st} dt = \frac{n}{s} \int_0^{\infty} t^{n-1} e^{-st} dt$$

即

$$\mathcal{L}[t^n] = \frac{n}{s} \mathcal{L}[t^{n-1}]$$

由此得

$$\mathcal{L}[t^n] = \frac{n!}{s^{n+1}}$$

$$\mathcal{L}[t] = \frac{1}{s^2}$$

#### 4. 冲激函数

冲激函数  $f(t) = \delta(t)$  的拉普拉斯变换为

$$F(s) = \mathcal{L}[\delta(t)] = \int_0^{\infty} \delta(t) e^{-st} dt = 1$$

如果冲激出现在  $t = t_0$  时刻 ( $t_0 > 0$ )，则有

$$\mathcal{L}[\delta(t - t_0)] = \int_0^{\infty} \delta(t - t_0) e^{-st} dt = e^{-st_0}$$

# 常用信号的拉氏变换，书表6-1

$u(t)$	$\frac{1}{s}$
$e^{-\alpha t} u(t)$	$\frac{1}{s + a}$
$t^n$	$\frac{n!}{s^{n+1}}$
$\delta(t)$	1
$\delta(t - t_0)$	$e^{-st_0}$
$\cos \omega_0 t \cdot u(t)$	$\frac{s}{s^2 + \omega_0^2}$
$\sin \omega_0 t \cdot u(t)$	$\frac{\omega_0}{s^2 + \omega_0^2}$

## 拉普拉斯变换的零极点

一般情况下，一个信号的拉普拉斯变换可以表示为两个 $s$ 有理多项式之比

$$F(s) = \frac{N(s)}{D(s)} = K \frac{s^m + b_{m-1}s^{m-1} + \cdots + b_1s + b_0}{s^n + a_{n-1}s^{n-1} + \cdots + a_1s + a_0} = K \frac{\prod_{j=1}^m (s - z_j)}{\prod_{i=1}^n (s - p_i)}$$

其中 $K$ ， $a_i$ 和 $b_i$ 都为实数， $m$ 和 $n$ 为正整数。

➡ 当 $s = z_j$ 时，有 $N(s) = 0$ ，从而 $F(s) = 0$ ，故称 $z_j$ 为 $F(s)$ 的零点。

如果 $z_j$ 是 $N(s)$ 的 $k$ 阶重根，则称 $z_j$ 为 $F(s)$ 的 $k$ 阶零点。

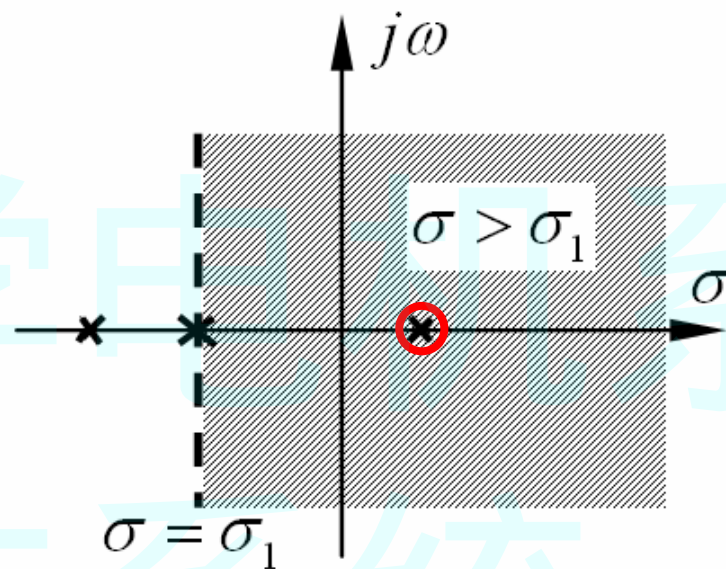
➡ 当 $s \rightarrow p_i$ 时，有 $D(s) \rightarrow 0$ ， $F(s) \rightarrow \infty$ ，故称 $p_i$ 为 $F(s)$ 的极点。

如果 $p_i$ 是 $D(s)$ 的 $k$ 阶重根，则称 $p_i$ 为 $F(s)$ 的 $k$ 阶极点。

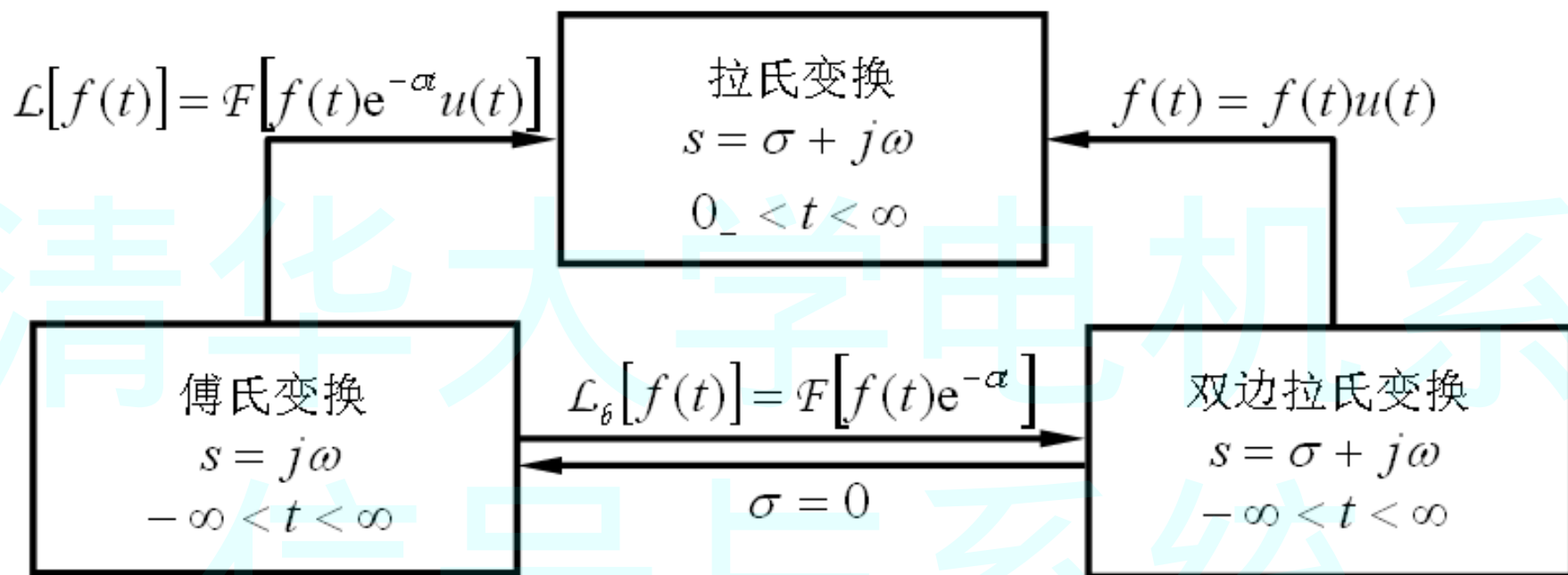


## □ 收敛域与极点的关系

- $F(s)$ 的收敛域中一定不包含任何极点
- $F(s)$ 的收敛边界一定是一条平行于虚轴的直线，且通过 $s$ 平面中最右边的极点



# 拉普拉斯变换与傅立叶变换的关系



双边拉普拉斯正变换

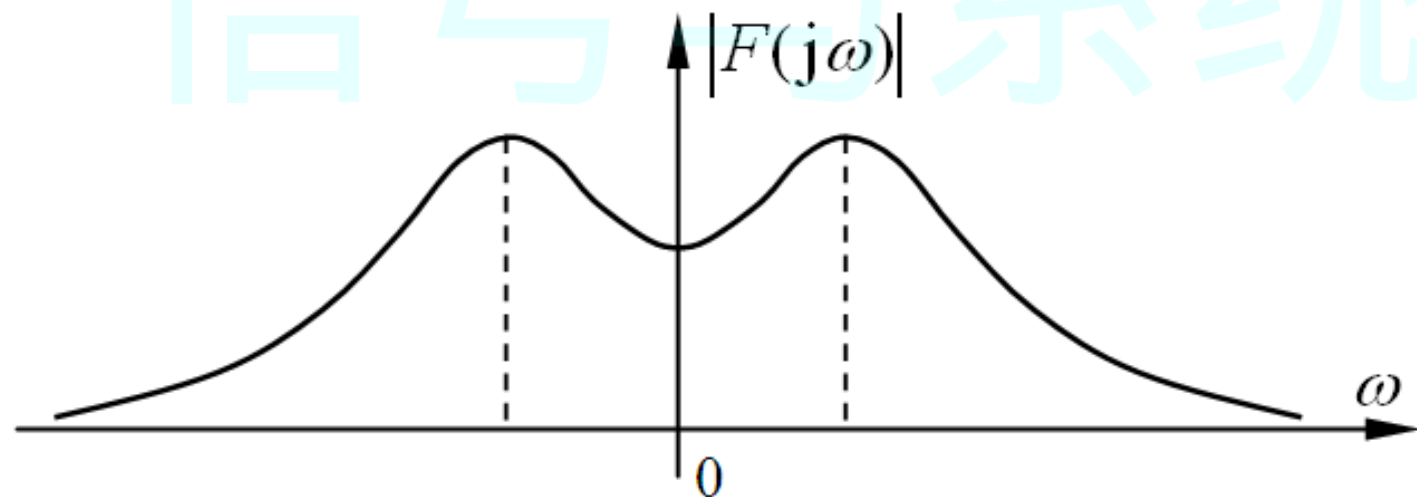
$$F_b(s) = \mathcal{L}_b[f(t)] = \mathcal{F}[f(t)e^{-\sigma t}]$$

例：单边指数衰减余弦信号  $f(t) = e^{-\alpha t} \cos \omega_0 t \cdot u(t)$  的傅里叶变换。

情况 1:  $\alpha < 0$ ,  $f(t)$  单边发散振荡, 傅里叶积分不收敛, 经典和扩展意义上的傅里叶变换都不存在。

情况 2:  $\alpha > 0$ ,  $f(t)$  单边衰减振荡, 傅里叶积分收敛, 经典意义的傅里叶变换存在

$$F(\omega) = \mathcal{F}[f(t)] = \frac{\alpha + j\omega}{(\alpha + j\omega)^2 + \omega_0^2}$$



$$f(t) = e^{-\alpha t} \cos \omega_0 t \cdot u(t) \quad (\alpha > 0)$$

$$F(\omega) = \mathcal{F}[f(t)] = \frac{\alpha + j\omega}{(\alpha + j\omega)^2 + \omega_0^2}$$

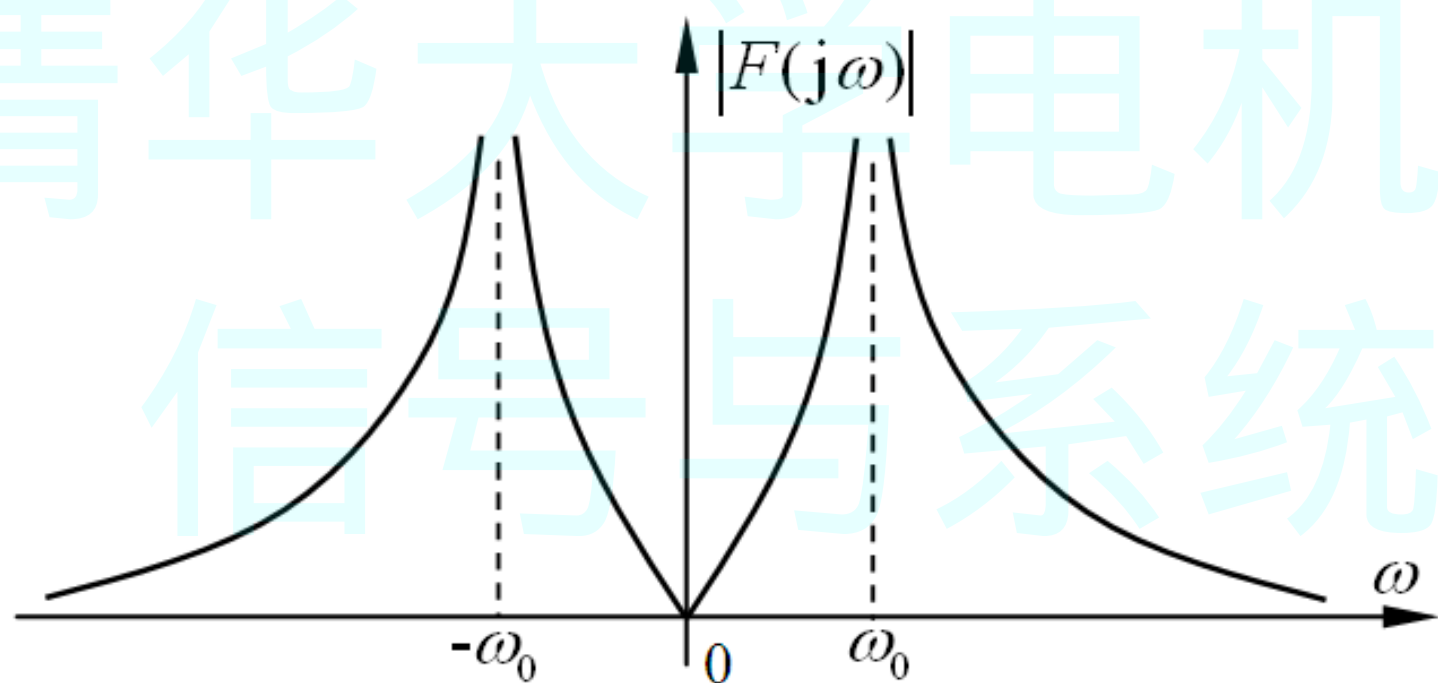
$$\begin{aligned} e^{-\alpha t} u(t) &\longleftrightarrow \frac{1}{\alpha + j\omega} \\ \cos \omega_0 t &\longleftrightarrow \pi[\delta(\omega - \omega_0) + \delta(\omega + \omega_0)] \end{aligned}$$

时域相乘，频域卷积

$$\begin{aligned} F(\omega) &= \frac{1}{2\pi} \left[ \frac{1}{\alpha + j\omega} \right] * [\pi[\delta(\omega - \omega_0) + \delta(\omega + \omega_0)]] \\ &= \frac{1}{2} \left[ \frac{1}{\alpha + j(\omega - \omega_0)} + \frac{1}{\alpha + j(\omega + \omega_0)} \right] \end{aligned}$$

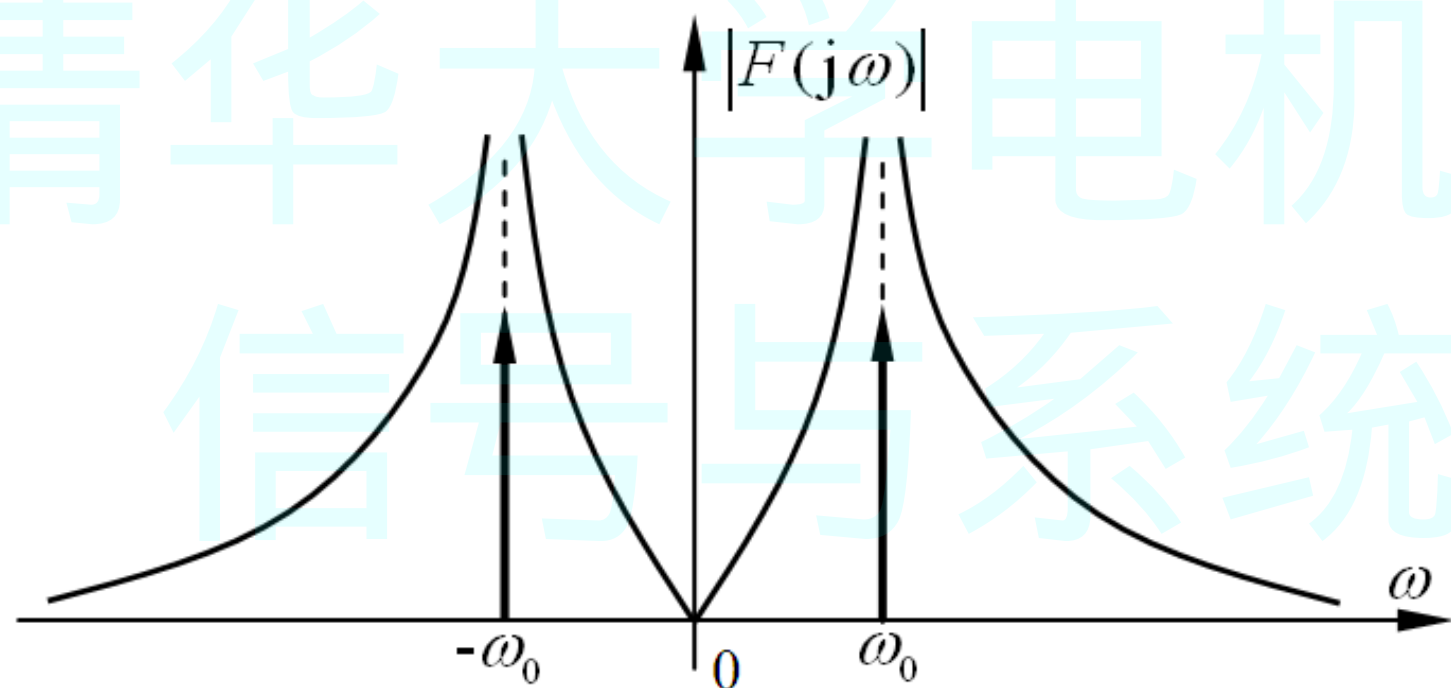
情况 3:  $\alpha \rightarrow 0$  (从  $0+$  趋于),  $f(t)$  趋于无衰减振荡, 傅里叶积分收敛, 经典意义的傅里叶变换存在

$$F(\omega) = F[f(t)] = \frac{\alpha + j\omega}{(\alpha + j\omega)^2 + \omega_0^2} \Big|_{\alpha \rightarrow 0} = \frac{j\omega}{\omega_0^2 - \omega^2}$$



情况 4:  $\alpha=0$ ,  $f(t)$  无衰减振荡, 傅里叶积分不收敛, 经典意义的傅里叶变换不存在, 扩展意义上的傅里叶变换存在

$$F(\omega) = \mathcal{F}[f(t)] = \frac{j\omega}{\omega_0^2 - \omega^2} + \frac{\pi}{2} [\delta(\omega + \omega_0) + \delta(\omega - \omega_0)]$$



$$f(t) = e^{-\alpha t} \cos \omega_0 t \cdot u(t) \quad (\alpha > 0)$$

例：单边指数衰减余弦信号  $f(t) = e^{-\alpha t} \cos \omega_0 t \cdot u(t)$  ( $\alpha > 0$ ) 的拉普拉斯变换和傅立叶变换的关系。

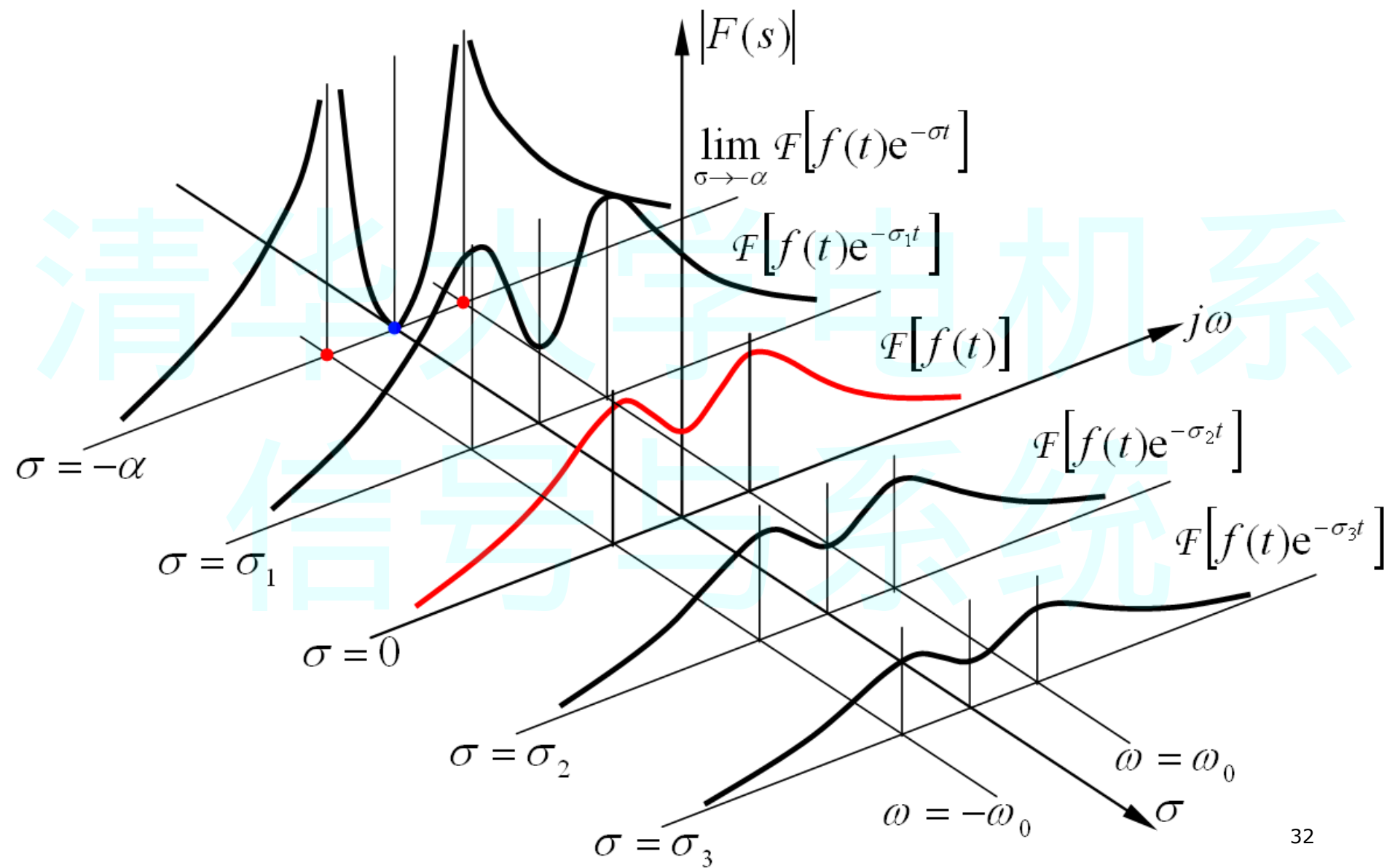
$$F(\omega) = \mathcal{F}[f(t)] = \frac{\alpha + j\omega}{(\alpha + j\omega)^2 + \omega_0^2} \quad e^{-\alpha t} \cos \omega_0 t \cdot u(t)$$

$$F(s) = \mathcal{F}[f(t)e^{-\sigma t}] = \frac{(\alpha + \sigma) + j\omega}{[(\alpha + \sigma) + j\omega]^2 + \omega_0^2} \quad \text{收敛域 } \sigma > -\alpha$$

$$F(s) = \mathcal{L}[f(t)] = \frac{\alpha + s}{(\alpha + s)^2 + \omega_0^2} \quad \text{收敛域 } \sigma > -\alpha$$

- 取收敛域内不同的衰减系数 $\sigma$ 进行傅立叶变换，所有这些傅立叶变换的集合构成拉普拉斯变换
- 傅立叶变换是一个随角频率 $\omega$ 变化的一维复函数，拉普拉斯变换则是随  $s = \sigma + j\omega$  变化的二维复函数。

$F(s)$  的模  $|F(s)|$  在  $s$  平面上的变化

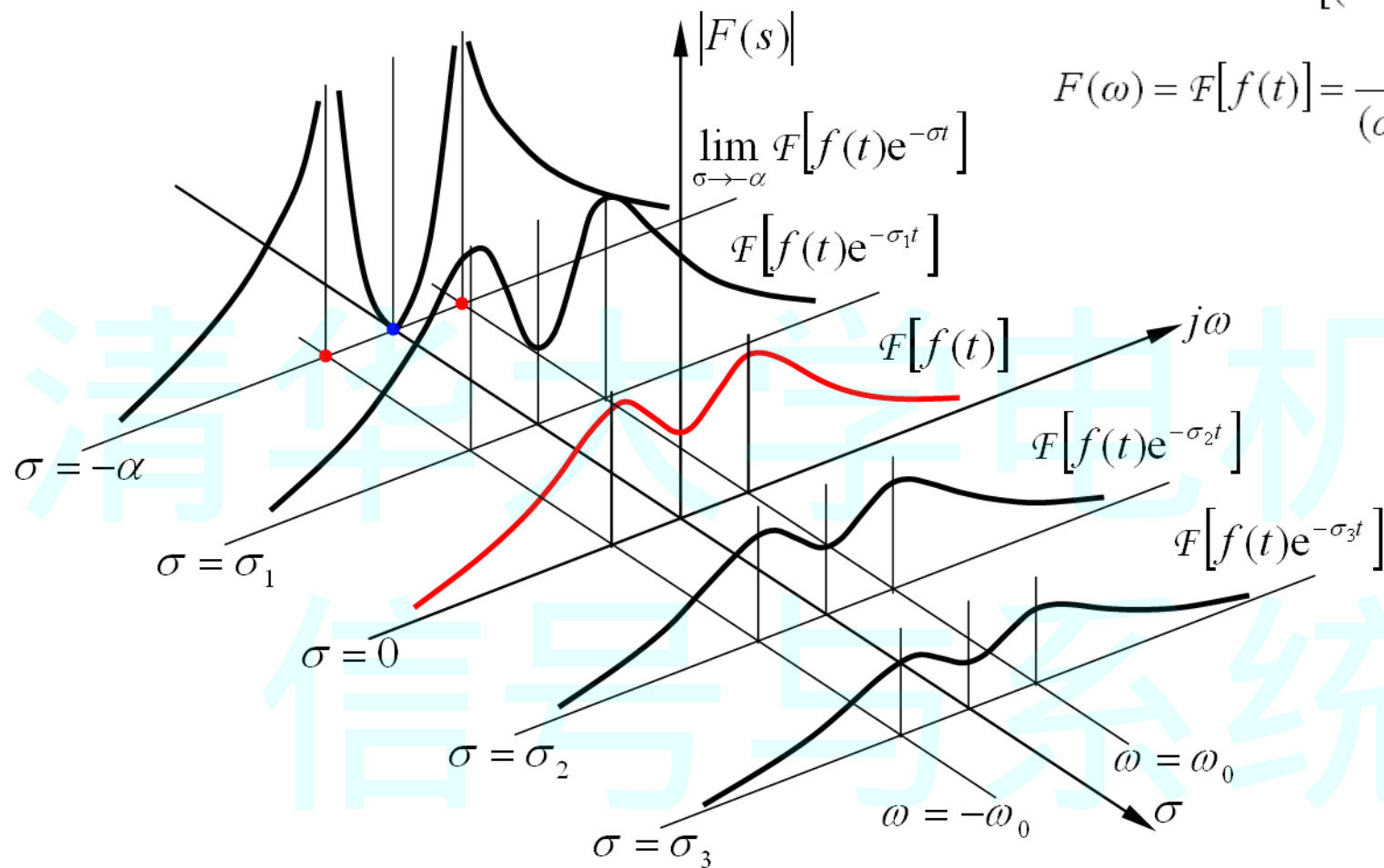




$F(s)$  的模  $|F(s)|$  在  $s$  平面上的变化

$$F(s) = \mathcal{F}[f(t)e^{-\alpha t}] = \frac{(\alpha + \sigma) + j\omega}{[(\alpha + \sigma) + j\omega]^2 + \omega_0^2}$$

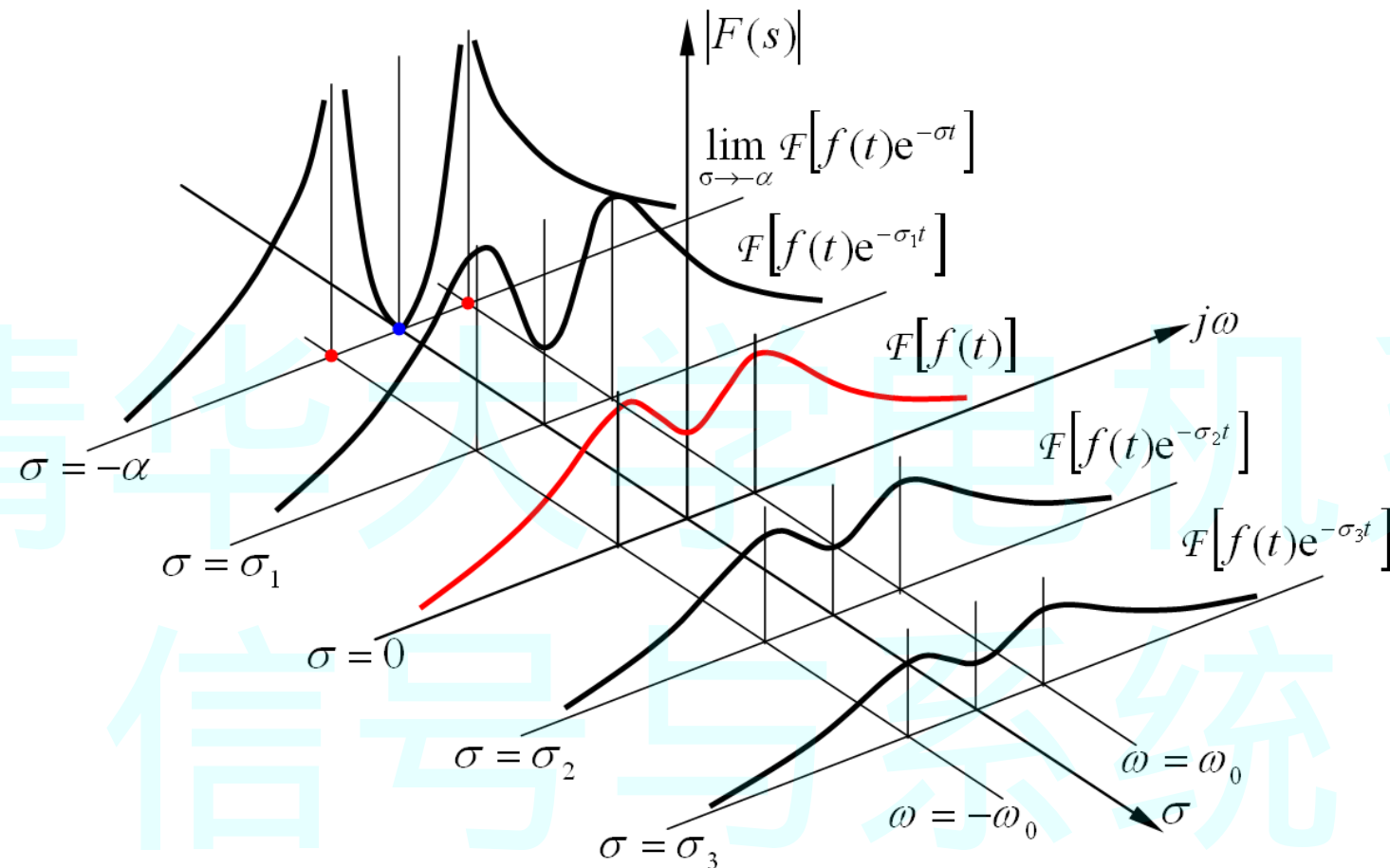
$$F(\omega) = \mathcal{F}[f(t)] = \frac{\alpha + j\omega}{(\alpha + j\omega)^2 + \omega_0^2}$$



(1) 在拉普拉斯变换中取  $s = j\omega$ ，即取  $\sigma = 0$ ，则得  $f(t)$  的傅立叶变换。

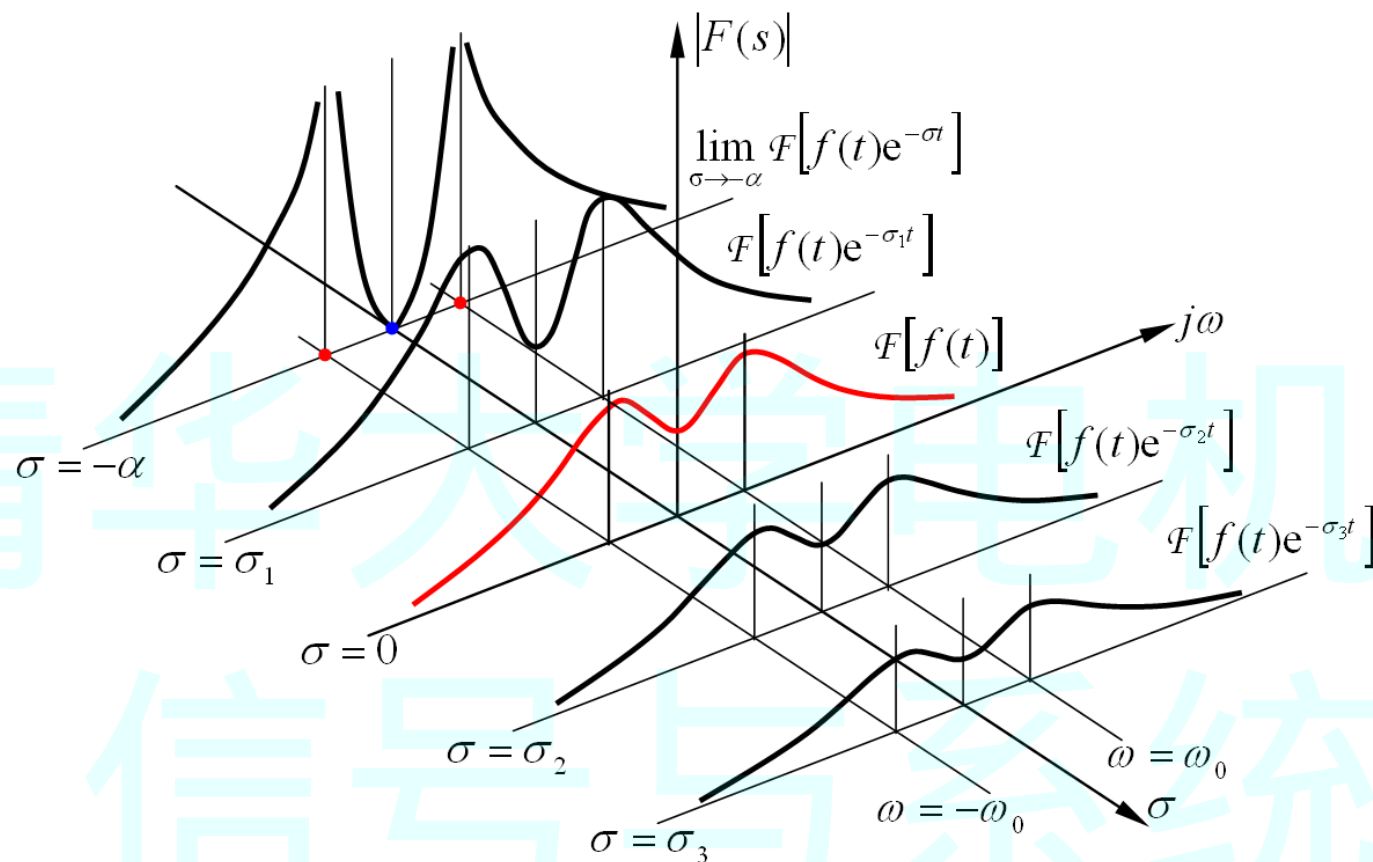
$\sigma = 0$  是  $s$  平面的虚轴，因此拉普拉斯变换  $F(s)$  在  $s$  平面虚轴上的取值是  $f(t)$  的傅立叶变换。

$F(s)$  的模  $|F(s)|$  在  $s$  平面上的变化



(2) 在拉普拉斯变换中取任意  $\sigma = \sigma_i$  ( $\sigma_i > 0$ ), 此时  $f(t)e^{-\sigma_i t}$  与  $f(t)$  相比衰减速度增大,  $f(t)e^{-\sigma_i t}$  的傅立叶变换存在。  $\sigma = \sigma_i$  ( $\sigma_i > 0$ ) 是在虚轴右边的平行于虚轴的直线, 拉普拉斯变换  $F(s)$  在此直线上的取值是  $f(t)e^{-\sigma_i t}$  ( $\sigma_i > 0$ ) 的傅立叶变换。

$F(s)$  的模  $|F(s)|$  在  $s$  平面上的变化



(3) 在拉普拉斯变换中取任意  $\sigma = \sigma_i$  ( $-\alpha < \sigma_i < 0$ ), 此时  $f(t)e^{-\sigma_i t}$  与  $f(t)$  相比衰减速度减小, 但仍然是绝对可积的,  $f(t)e^{-\sigma_i t}$  的傅立叶变换存在。  
 $\sigma = \sigma_i$  ( $-\alpha < \sigma_i < 0$ ) 是在虚轴左边的平行于虚轴的直线, 拉普拉斯变换  $F(s)$  在此直线上的取值是  $f(t)e^{-\sigma_i t}$  ( $-\alpha < \sigma_i < 0$ ) 的傅立叶变换。

(4) 如果  $\sigma \leq -\alpha$ ，则  $f(t)e^{-\alpha t}$  不再绝对可积， $f(t)e^{-\sigma t}$  的傅立叶积分不收敛， $f(t)$  的拉普拉斯积分也不收敛，因此  $f(t)$  的拉普拉斯变换的收敛域是  $\sigma > -\alpha$  的区域，不包括  $\sigma = -\alpha$ 。

注意：当  $\sigma \rightarrow -\alpha$  时，有

$$f(t)e^{-\alpha t} \rightarrow \cos \omega_0 t \cdot u(t)$$

$$F[f(t)e^{-\alpha t}] \rightarrow \frac{j\omega}{\omega_0^2 - \omega^2}$$

而当  $\sigma = -\alpha$  时，有

$$f(t)e^{-\alpha t} = \cos \omega_0 t \cdot u(t)$$

$$F[f(t)e^{-\alpha t}] = \frac{j\omega}{\omega_0^2 - \omega^2} + \frac{\pi}{2} [\delta(\omega + \omega_0) + \delta(\omega - \omega_0)]$$

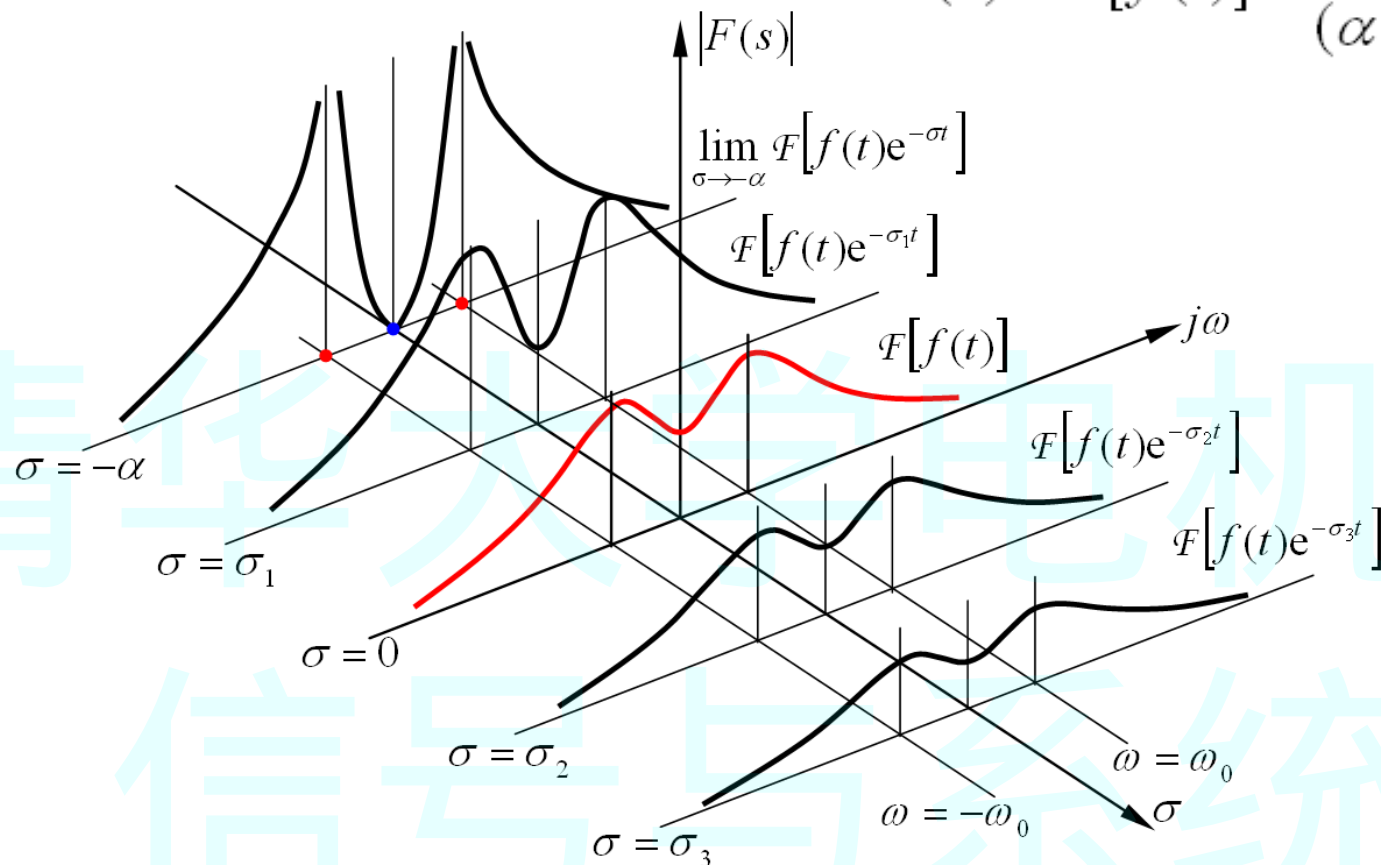
$$F(s) = \mathcal{F}[f(t)e^{-\alpha t}] = \frac{(\alpha + \sigma) + j\omega}{[(\alpha + \sigma) + j\omega]^2 + \omega_0^2}$$

$$F(s) = \mathcal{L}[f(t)] = \frac{\alpha + s}{(\alpha + s)^2 + \omega_0^2}$$

后者是扩展意义上的傅立叶变换，包含冲激函数。拉普拉斯变换的收敛域不包含收敛边界，因此拉普拉斯变换中没有冲激函数。

$F(s)$  的模  $|F(s)|$  在  $s$  平面上的变化

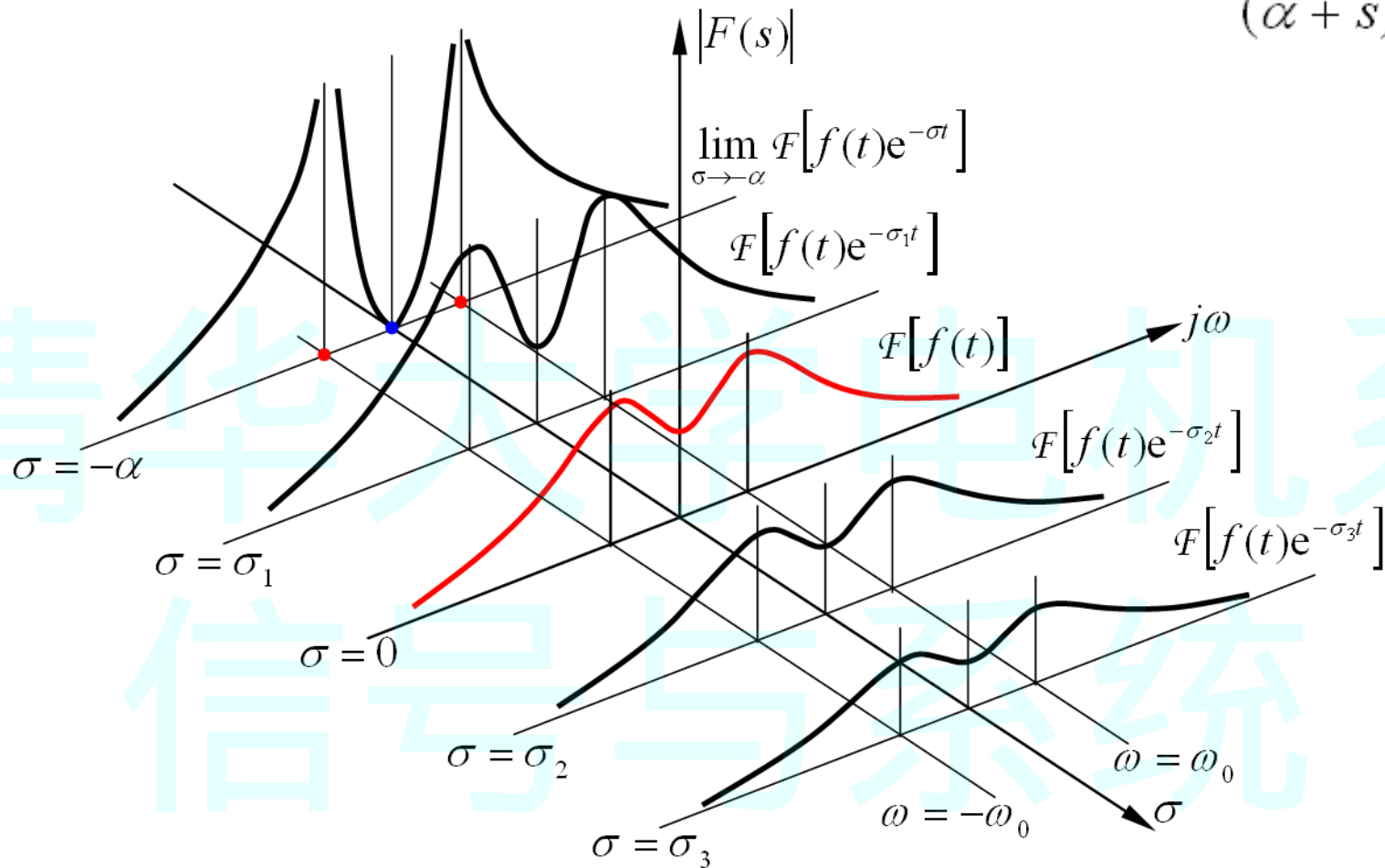
$$F(s) = \mathcal{L}[f(t)] = \frac{\alpha + s}{(\alpha + s)^2 + \omega_0^2}$$



(5) 当  $s \rightarrow -\alpha \pm j\omega_0$  时,  $|F(s)| \rightarrow \infty$ , 因此  $p_{1,2} = -\alpha \pm j\omega_0$  是  $F(s)$  的极点,  $F(s)$  有两个极点。极点坐标表明了信号  $f(t) = e^{-\alpha t} \cos \omega_0 t \cdot u(t)$  的衰减系数和频率两个特征参数。

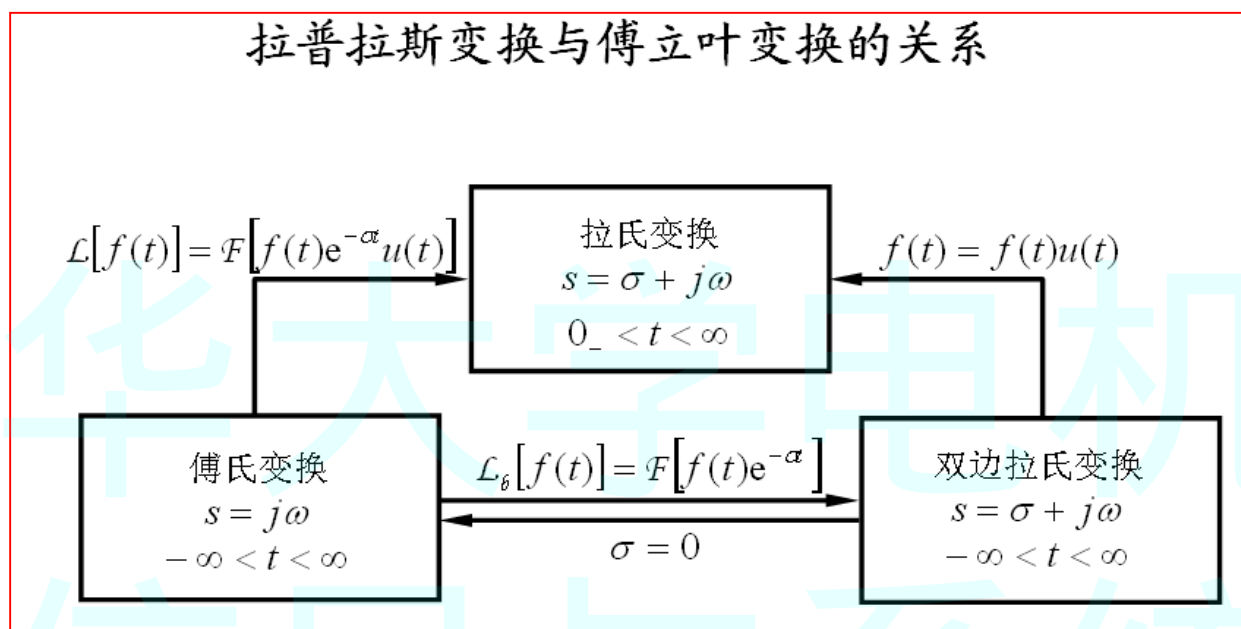
$F(s)$  的模  $|F(s)|$  在  $s$  平面上的变化

$$F(s) = \mathcal{L}[f(t)] = \frac{\alpha + s}{(\alpha + s)^2 + \omega_0^2}$$



(6) 当  $s \rightarrow -\alpha$  时,  $|F(s)| \rightarrow 0$ , 因此  $z_1 = -\alpha$  是  $F(s)$  的零点,  $F(s)$  有一个零点。

# 由信号拉普拉斯变换求傅立叶变换



如果  $f(t)$  是因果信号，则其傅立叶变换的积分区间减小为  $(0_-, \infty)$ ，和拉普拉斯变换的积分区间相同，此时如果  $f(t)$  的傅立叶变换存在，则可由拉普拉斯变换求得。



➡ 设  $f(t)$  的拉普拉斯变换是  $F(s)$ ，如果  $F(s)$  的收敛边界在  $s$  平面虚轴的左边，收敛域包含虚轴，则  $f(t)$  的傅立叶变换  $F(\omega)$  存在，可以直接由  $F(s)$  做变量替换求得，有

$$F(\omega) = F(s) \Big|_{s=j\omega}$$

➡ 如果  $F(s)$  的收敛边界在  $s$  平面虚轴的右边，收敛域不包含虚轴，则  $f(t)$  的傅立叶变换不存在。

➡ 如果  $F(s)$  的收敛边界是  $s$  平面的虚轴，则  $f(t)$  经典意义上的傅立叶变换不存在，但扩展意义上的傅立叶变换存在，其中包含冲激函数。设  $F(s)$  虚轴上有  $N$  个单极点，则  $F(s)$  可表示为以下形式

$$F(s) = F_l(s) + \sum_{i=1}^N \frac{k_i}{s - j\omega_i}$$



$$F(s) = F_l(s) + \sum_{i=1}^N \frac{k_i}{s - j\omega_i}$$

其中  $\sum_{i=1}^N \frac{k_i}{s - j\omega_i}$  表示  $F(s)$  中对应于虚轴上  $N$  个单极点部分,  $F_l(s)$  表示  $F(s)$

中的剩余极点部分。

上式的逆变换为:  $f(t) = f_l(t) + \sum_{i=1}^N k_i e^{j\omega_i t} u(t)$

$$\mathcal{F}[f(t)] = F_l(s) \Big|_{s=j\omega} + \sum_{i=1}^N k_i \left\{ \delta(\omega - \omega_i) * \left[ \pi\delta(\omega) + \frac{1}{j\omega} \right] \right\}$$

$$= F_l(s) \Big|_{s=j\omega} + \sum_{i=1}^N \frac{k_i}{j(\omega - \omega_i)} + \sum_{i=1}^N k_i \pi \delta(\omega - \omega_i)$$

$$= F(s) \Big|_{s=j\omega} + \pi \sum_{i=1}^N k_i \delta(\omega - \omega_i)$$

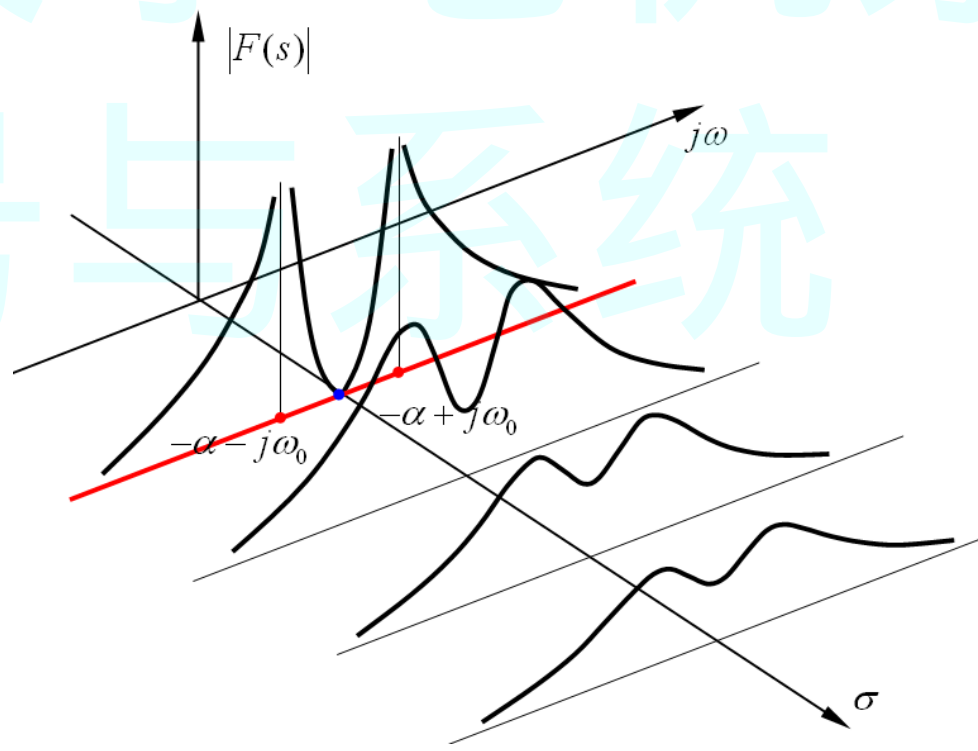
此式显示, 除了做变量替换外, 还需要在虚轴上的极点处补上冲激函数。

例：单边指数衰减余弦信号  $f(t) = e^{-\alpha t} \cos \omega_0 t \cdot u(t)$  的拉普拉斯变换，以及与傅里叶变换的关系。

情况 1:  $\alpha < 0$ ,  $f(t)$  单边发散振荡，拉普拉斯变换存在

$$F(s) = \mathcal{L}[f(t)] = \frac{\alpha + s}{(\alpha + s)^2 + \omega_0^2}$$

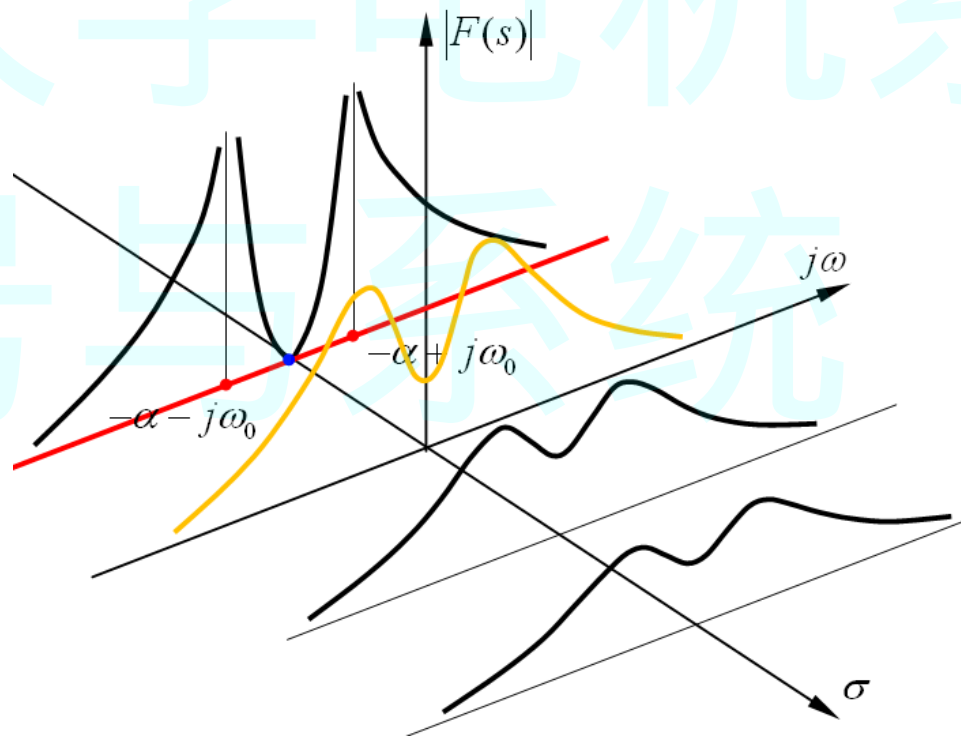
收敛域  $\sigma > -\alpha$ ，收敛边界在  $s$  平面的右半面，不包含虚轴， $f(t)$  的傅里叶变换不存在。



情况 2:  $\alpha > 0$ ,  $f(t)$  单边衰减振荡, 拉普拉斯变换存在

$$F(s) = \mathcal{L}[f(t)] = \frac{\alpha + s}{(\alpha + s)^2 + \omega_0^2}$$

收敛域  $\sigma > -\alpha$ , 收敛边界在  $s$  平面的左半面, 包含虚轴,  $f(t)$  的傅里叶变换存在, 求取方法: 对拉普拉斯变换做变量替换  $s = j\omega$ , 即取虚轴上的拉普拉斯变换。

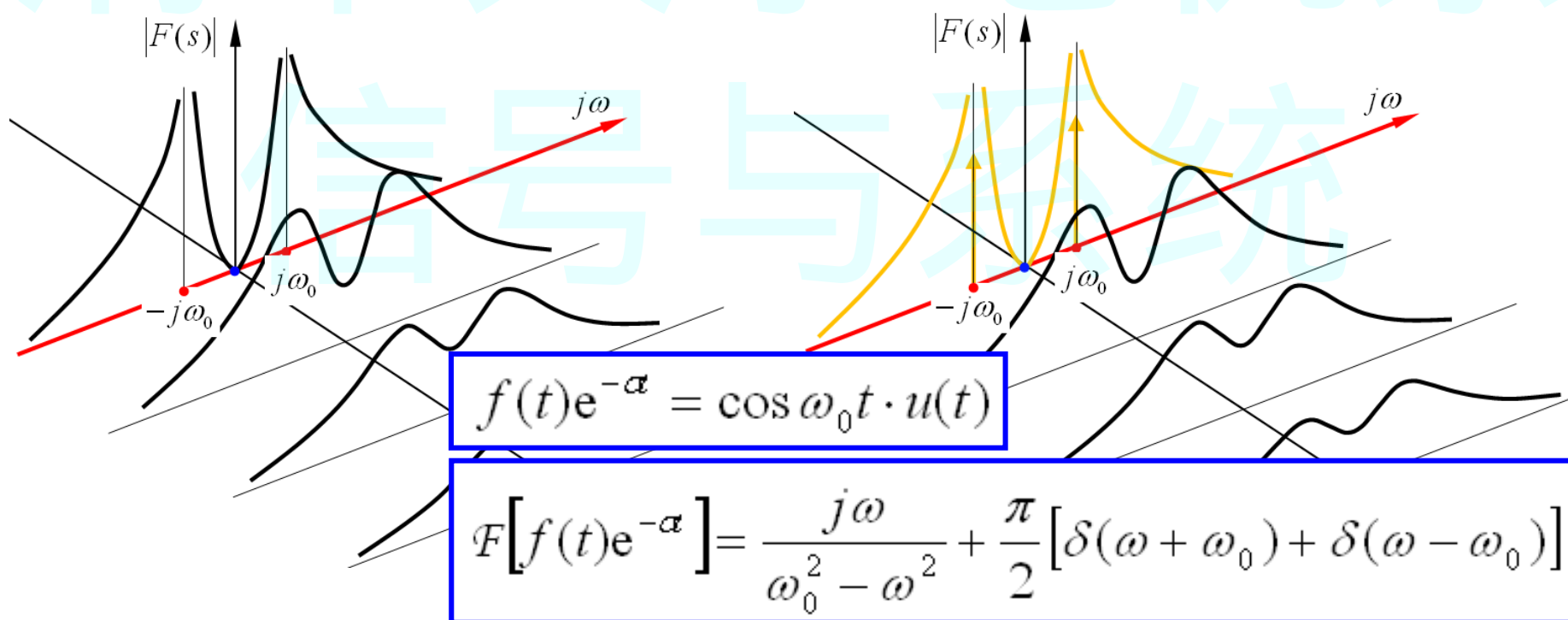


情况 3:  $\alpha = 0$ ,  $f(t)$  单边等幅振荡, 拉普拉斯变换存在

$$F(s) = \mathcal{L}[f(t)] = \frac{s}{s^2 + \omega_0^2} = \frac{1}{2} \cdot \frac{1}{s + j\omega} + \frac{1}{2} \cdot \frac{1}{s - j\omega}$$

收敛域  $\sigma > 0$  (收敛域不包含虚轴), 收敛边界是  $s$  平面的虚轴,  
 $f(t)$  经典意义的傅里叶变换不存在, 扩展意义的傅里叶变换存在。

扩展意义傅里叶变换求取方法: 变量替换  $s = j\omega$ , 即取虚轴上的拉普拉斯变换, 同时补充脉冲函数。



# 傅里叶变换性质

线性	$\mathcal{F}[f_i(t)] = F_i(\omega)$	$\mathcal{F}\left[\sum_{i=1}^N A_i f_i(t)\right] = \sum_{i=1}^N A_i F_i(\omega)$
奇偶虚实特性	实偶函数 实奇函数	实偶函数 虚奇函数
对称特性	$\mathcal{F}[f(t)] = F(\omega)$	$\mathcal{F}[F(t)] = 2\pi f(-\omega)$
尺度特性	$\mathcal{F}[f(t)] = F(\omega)$	$\mathcal{F}[f(at)] = \frac{1}{ a } F\left(\frac{\omega}{a}\right)$
时移特性	$\mathcal{F}[f(t)] = F(\omega)$	$\mathcal{F}[f(t \pm t_0)] = F(\omega)e^{\pm j\omega t_0}$
频移特性	$\mathcal{F}[f(t)] = F(\omega)$	$\mathcal{F}[f(t)e^{\pm j\omega_0 t}] = F(\omega \mp \omega_0)$
时域微分特性	$\mathcal{F}[f(t)] = F(\omega)$	$\mathcal{F}\left[\frac{d^n f(t)}{dt^n}\right] = (j\omega)^n F(\omega)$
频域微分特性	$\mathcal{F}[f(t)] = F(\omega)$	$\mathcal{F}^{-1}\left[\frac{d^n F(\omega)}{d\omega^n}\right] = (-jt)^n f(t)$
时域积分特性	$\mathcal{F}[f(t)] = F(\omega)$	$\mathcal{F}\left[\int_{-\infty}^t f(\tau) d\tau\right] = \frac{F(\omega)}{j\omega} + \pi F(0)\delta(\omega)$
时域卷积特性	$\mathcal{F}[f_1(t)] = F_1(\omega)$ $\mathcal{F}[f_2(t)] = F_2(\omega)$	$\mathcal{F}[f_1(t) * f_2(t)] = F_1(\omega)F_2(\omega)$
频域卷积特性	$\mathcal{F}[f_1(t)] = F_1(\omega)$ $\mathcal{F}[f_2(t)] = F_2(\omega)$	$\mathcal{F}[f_1(t)f_2(t)] = \frac{1}{2\pi} F_1(\omega) * F_2(\omega)$

# 拉普拉斯变换的性质

## 1. 线性特性

如果  $\mathcal{L}[f_1(t)] = F_1(s)$ ,  $\mathcal{L}[f_2(t)] = F_2(s)$ , 有

$$\mathcal{L}[Af_1(t) + Bf_2(t)] = AF_1(s) + BF_2(s)$$

## 2. 时域平移特性

如果  $\mathcal{L}[f(t)] = F(s)$ , 则当  $t_0 > 0$  时, 有

$$\mathcal{L}[f(t-t_0)u(t-t_0)] = e^{-st_0}F(s)$$

$$\mathcal{F}[f(t \pm t_0)] = F(\omega)e^{\pm j\omega t_0}$$

## 3. $s$ 域平移特性

如果  $\mathcal{L}[f(t)] = F(s)$ , 有

$$\mathcal{L}[f(t)e^{-s_0 t}] = F(s + s_0)$$

$$\mathcal{F}[f(t)e^{\pm j\omega_0 t}] = F(\omega \mp \omega_0)$$

题一 求下列函数的拉氏变换

$$f_1(t) = (t-1)u(t) \qquad f_2(t) = t \cdot u(t-1)$$

【解】 拉氏变换和傅氏变换在时移定理存在差异。

$$F_1(s) = L[(t-1)u(t)] = \frac{1}{s^2} - \frac{1}{s}$$

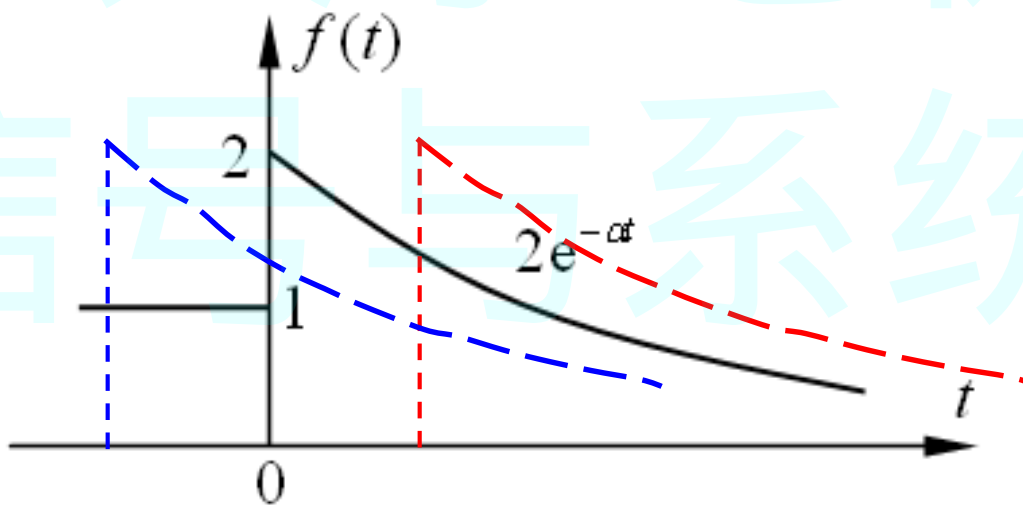
$$F_2(s) = L[(t-1)u(t-1) + u(t-1)] = \frac{e^{-s}}{s^2} + \frac{e^{-s}}{s}$$

## 时移定理的进一步说明

$$L[f(t-t_0)u(t-t_0)] = F(s)e^{-st_0}$$

时移定理  $L[f(t-t_0)] = F(s)e^{-st_0}$  ?

的成立条件是：若 $t_0 > 0$ ，则在区间 $[-t_0, 0]$ 内应有 $f(t) = 0$ ；  
若 $t_0 < 0$ ，则在区间 $[0, -t_0]$ 内应有 $f(t) = 0$ ；





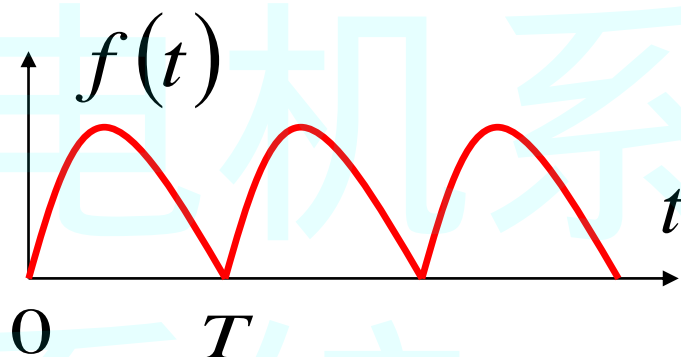
# [例1] 求半边周期函数 $f(t)$ 的拉氏变换

[解]  $f(t) = f_0(t) + f_0(t-T) + f_0(t-2T) + \dots$

设  $\mathcal{L}[f_0(t)] = F_0(s)$

由时移特性

$$F(s) = F_0(s) [1 + e^{-sT} + e^{-2sT} + \dots]$$

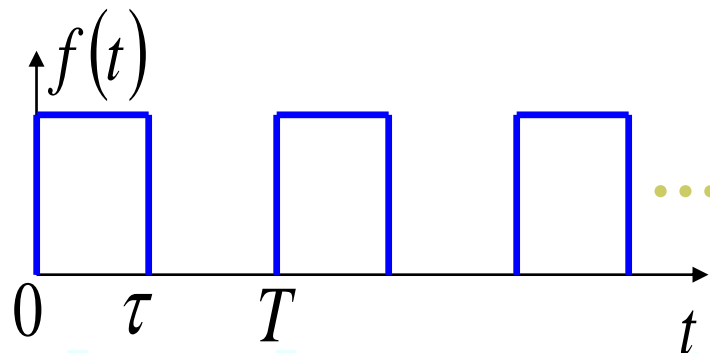


$$= F_0(s) \sum_{n=0}^{+\infty} e^{-nsT} = F_0(s) \cdot \frac{1}{1 - e^{-sT}}$$

利用无穷  
级数求和

# 矩形周期信号拉氏变换

应用前面的结果



$$f_1(t) = u(t) - u(t - \tau)$$

第一周期的信号

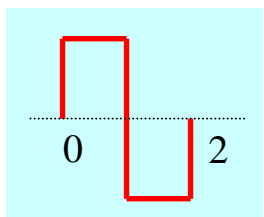
$$F_1(s) = \frac{1}{s} (1 - e^{-s\tau})$$

第一周期的拉氏变换

$$F(s) = \frac{F_1(s)}{1 - e^{-sT}} = \frac{1 - e^{-s\tau}}{s(1 - e^{-sT})}$$

利用时移特性  
利用无穷级数求和

# [例4] 求指数衰减的周期方波信号的拉氏变换

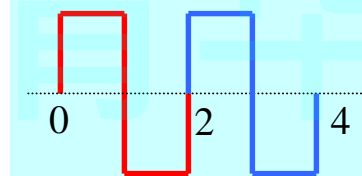


$$u(t) - 2u(t-1) + u(t-2)$$

单对称方波

$$\frac{1}{s} (1 - 2e^{-s} + e^{-2s})$$

半边周期延拓

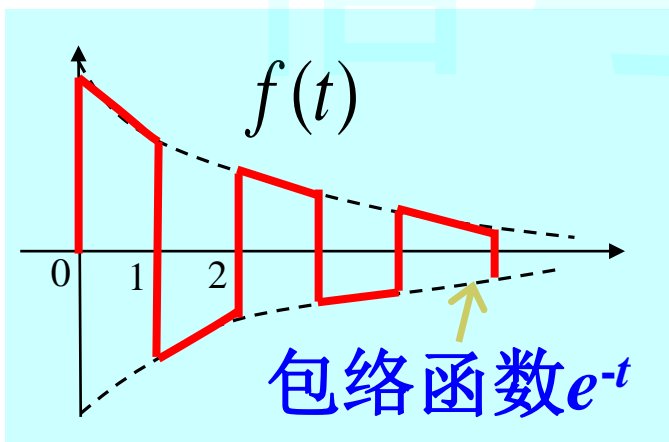


周期对称方波

$$T=2$$

$$\frac{1}{s} (1 - e^{-s})^2 \frac{1}{1 - e^{-2s}}$$

乘衰减指数



指数衰减的  
周期方波

$$\frac{1}{(s+1)} \frac{(1 - e^{-(s+1)})}{(1 + e^{-(s+1)})}$$

## [例2] 单边正弦、余弦信号的拉氏变换

$$\cos \omega t \cdot u(t)$$

$$\sin \omega t \cdot u(t)$$

$$f(t) = u(t) \frac{e^{j\omega t} + e^{-j\omega t}}{2}$$

$$f(t) = u(t) \frac{e^{j\omega t} - e^{-j\omega t}}{2j}$$

$$\begin{aligned} F(s) &= \frac{1}{2} \left( \frac{1}{s - j\omega} + \frac{1}{s + j\omega} \right) \\ &= \frac{s}{s^2 + \omega^2} \end{aligned}$$

$$\begin{aligned} F(s) &= \frac{1}{2j} \left( \frac{1}{s - j\omega} - \frac{1}{s + j\omega} \right) \\ &= \frac{\omega}{s^2 + \omega^2} \end{aligned}$$

### [例3] 衰减余弦信号的拉氏变换

$$f(t) = e^{-\beta t} [\cos \omega t \cdot u(t)]$$

$$F_0(s) = \mathcal{L}[\cos \omega t \cdot u(t)] = \frac{s}{s^2 + \omega^2}$$

$$F(s) = \frac{s + \beta}{(s + \beta)^2 + \omega^2}$$

频移特性

#### 4. 时域微分特性

如果  $\mathcal{L}[f(t)] = F(s)$ ，有

$$\mathcal{L}\left[\frac{d}{dt}f(t)\right] = sF(s) - f(0_-)$$

$$\mathcal{F}\left[\frac{d^n f(t)}{dt^n}\right] = (j\omega)^n F(\omega)$$

$$\mathcal{L}\left[\frac{d^2}{dt^2}f(t)\right] = s^2F(s) - sf(0_-) - f'(0_-)$$

$$\mathcal{L}\left[\frac{d^n}{dt^n}f(t)\right] = s^nF(s) - s^{n-1}f(0_-) - s^{n-2}f'(0_-) - \cdots - f^{(n-1)}(0_-)$$

拉普拉斯变换的时域微分特性考虑了信号在  $t=0$  时刻的奇异性，包含了信号的  $0_-$  状态。

证明

$$\mathcal{L}\left[\frac{d}{dt}f(t)\right] = \int_{0_-}^{\infty} \left[\frac{d}{dt}f(t)\right] e^{-st} dt$$

$$= f(t)e^{-st} \Big|_{0_-}^{\infty} + s \int_{0_-}^{\infty} f(t)e^{-st} dt$$

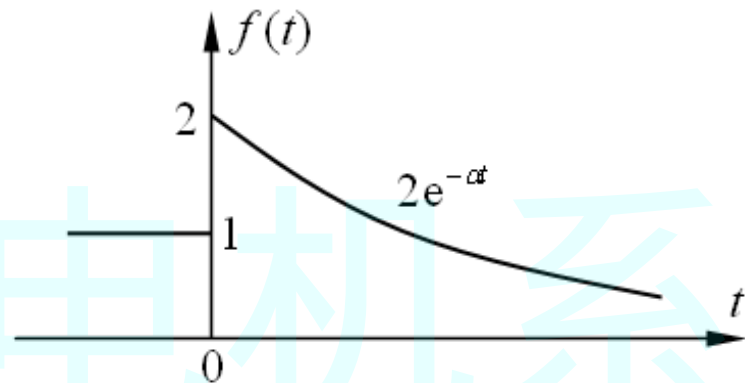
$$= sF(s) - f(0_-)$$

■ 已知图示信号 $f(t)$ 的波形，求  $\mathcal{L}\left[\frac{d}{dt}f(t)\right]$

解：方法一

$$\frac{d}{dt}f(t) = \delta(t) - 2\alpha e^{-\alpha t} \cdot u(t)$$

$$\mathcal{L}\left[\frac{d}{dt}f(t)\right] = 1 - \frac{2\alpha}{s + \alpha} = \frac{s - \alpha}{s + \alpha}$$



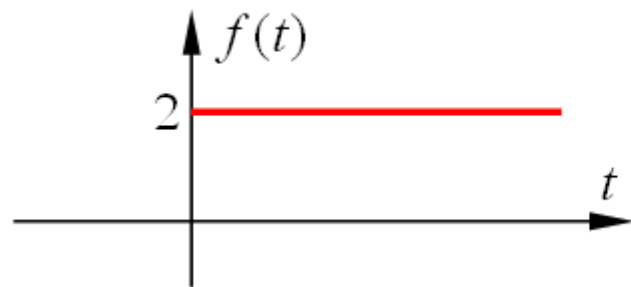
方法二

$$\mathcal{L}[f(t)] = \frac{2}{s + \alpha}$$

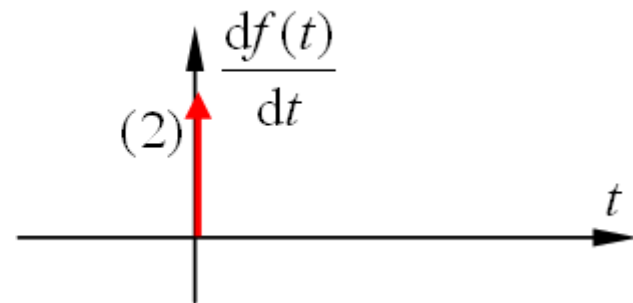
可见，拉普拉斯变换考虑了信号 $f(t)$ 的 $0_-$ 状态，以及 $f(t)$ 在 $t = 0$ 时的跳变。

根据时域微分特性，有

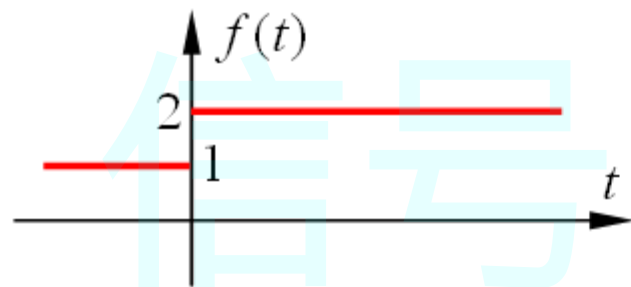
$$\mathcal{L}\left[\frac{d}{dt}f(t)\right] = sF(s) - f(0_-) = s \frac{2}{s + \alpha} - 1 = \frac{s - \alpha}{s + \alpha}$$



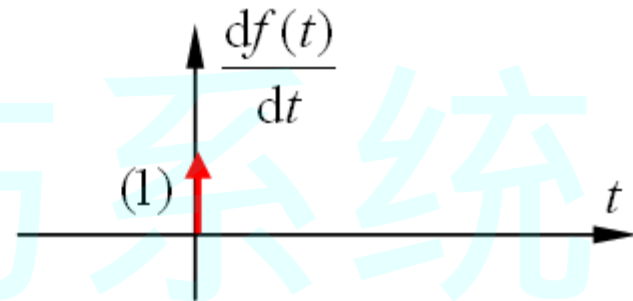
$$\mathcal{L}[f(t)] = \frac{2}{s}$$



$$\mathcal{L}\left[\frac{df(t)}{dt}\right] = s\mathcal{L}[f(t)] - f(0_-) = 2$$



$$\mathcal{L}[f(t)] = \frac{2}{s}$$



$$\mathcal{L}\left[\frac{df(t)}{dt}\right] = s\mathcal{L}[f(t)] - f(0_-) = 1$$



## 5. 时域积分特性

如果  $\mathcal{L}[f(t)] = F(s)$ ，有

$$\mathcal{F}\left[\int_{-\infty}^t f(\tau) d\tau\right] = \frac{F(\omega)}{j\omega} + \pi F(0)\delta(\omega)$$

$$\mathcal{L}\left[\int_{-\infty}^t f(x) dx\right] = \frac{1}{s} F(s) + \frac{1}{s} f^{(-1)}(0_-)$$

其中

$$f^{(-1)}(0_-) = \int_{-\infty}^{0_-} f(x) dx$$

如果  $f(t)$  是因果信号，则  $f^{(-1)}(0_-) = 0$ ，有

$$\mathcal{L}\left[\int_{-\infty}^t f(x) dx\right] = \frac{1}{s} F(s)$$

证明

$$\begin{aligned}\mathcal{L}\left[\int_{-\infty}^t f(x) dx\right] &= \mathcal{L}\left[\int_{-\infty}^{0_-} f(x) dx + \int_{0_-}^t f(x) dx\right] \\&= \mathcal{L}[f^{(-1)}(0_-)] + \int_{0_-}^{\infty} \left[\int_{0_-}^t f(x) dx\right] e^{-st} dt \\&= \frac{f^{(-1)}(0_-)}{s} - \left[\frac{e^{-st}}{s} \int_{0_-}^t f(x) dx\right]_{0_-}^{\infty} + \frac{1}{s} \int_{0_-}^{\infty} f(t) e^{-st} dt \\&= \frac{1}{s} F(s) + \frac{f^{(-1)}(0_-)}{s}\end{aligned}$$

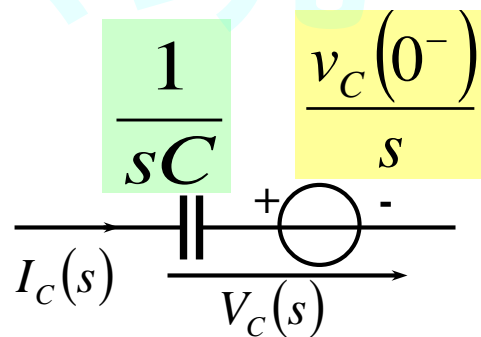
例：已知流经电容的电流 $i_C(t)$ 的拉氏变换为 $I_C(s)$ ，求电容电压 $v_C(t)$ 的拉氏变换。

解：  $i_C(t) = C \frac{d}{dt} v_C(t)$  或  $v_C(t) = \frac{1}{C} \int_{-\infty}^t i_C(\tau) d\tau$

$$V_C(s) = \mathcal{L} \left[ \frac{1}{C} \int_{-\infty}^t i_C(\tau) d\tau \right]$$
$$= \frac{I_C(s)}{Cs} + \frac{i_C^{(-1)}(0)}{Cs} \quad i_C^{(-1)}(0) = \int_{-\infty}^0 i_C(\tau) d\tau$$

它的物理意义是电容两端的起始电荷量，所以

$$V_C(s) = \frac{I_C(s)}{Cs} + \frac{v_C(0_-)}{s}$$



## 6. 时域卷积特性

$$\mathcal{F}[f_1(t) * f_2(t)] = F_1(\omega)F_2(\omega)$$

如果  $\mathcal{L}[f_1(t)] = F_1(s)$ ,  $\mathcal{L}[f_2(t)] = F_2(s)$ , 有

$$\mathcal{L}[f_1(t) * f_2(t)] = F_1(s)F_2(s)$$

## 7. 初值定理

设信号  $f(t)$  及其导数  $\frac{d}{dt}f(t)$  的拉普拉斯变换存在, 且  $\mathcal{L}[f(t)] = F(s)$ , 则

$$\lim_{t \rightarrow 0_+} f(t) = \lim_{s \rightarrow \infty} sF(s)$$

证明

$$sF(s) - f(0_-) = \mathcal{L}\left[\frac{d}{dt}f(t)\right]$$

$$= \int_{0_-}^{0_+} \frac{df(t)}{dt} e^{-st} dt + \int_{0_+}^{\infty} \frac{df(t)}{dt} e^{-st} dt$$

$$= f(0_+) - f(0_-) + \int_{0_+}^{\infty} \frac{df(t)}{dt} e^{-st} dt$$

$$sF(s) - f(0_-) = f(0_+) - f(0_-) + \int_{0_+}^{\infty} \frac{df(t)}{dt} e^{-st} dt$$

当  $s \rightarrow \infty$  时, 存在极限

$$\lim_{s \rightarrow \infty} \int_{0_+}^{\infty} \frac{df(t)}{dt} e^{-st} dt = \int_{0_+}^{\infty} \frac{df(t)}{dt} \left[ \lim_{s \rightarrow \infty} e^{-st} \right] dt = 0$$

因此有

$$\lim_{s \rightarrow \infty} sF(s) = f(0_+) = \lim_{t \rightarrow 0_+} f(t)$$

若  $F(s)$  不是真分式, 应化为真分式:

$$F_1(s) = F(s) - k$$

$$f(0_+) = \lim_{s \rightarrow \infty} s[F(s) - k] = \lim_{s \rightarrow \infty} [sF(s) - ks] = \lim_{t \rightarrow 0_+} f(t)$$

$F(s)$  中有常数项, 说明  $f(t)$  中有  $\delta(t)$  项。

## 8. 终值定理

设信号  $f(t)$  及其导数  $\frac{d}{dt}f(t)$  的拉普拉斯变换存在, 且  $\mathcal{L}[f(t)] = F(s)$ , 如

果  $f(t)$  的终值  $f(\infty) = \lim_{t \rightarrow \infty} f(t)$  存在, 则有

$$\lim_{t \rightarrow \infty} f(t) = \lim_{s \rightarrow 0} sF(s)$$

注意, 对于  $\cos \omega t$  和  $\sin \omega t$  这样的函数,  $t \rightarrow \infty$  时的极限不存在, 所以不能应用终值定理。

在初值定理证明中有关系式

证明

$$sF(s) = f(0_+) + \int_{0_+}^{\infty} \frac{df(t)}{dt} e^{-st} dt$$

取  $s \rightarrow 0$  的极限, 有

$$\begin{aligned} \lim_{s \rightarrow 0} sF(s) &= f(0_+) + \lim_{s \rightarrow 0} \int_{0_+}^{\infty} \frac{df(t)}{dt} e^{-st} dt \\ &= f(0_+) + \lim_{t \rightarrow \infty} f(t) - f(0_+) \\ &= \lim_{t \rightarrow \infty} f(t) \end{aligned}$$

□ 下列象函数反变换  $f(t)$  的初值和终值。

$$F(s) = \frac{s^2 + 2s + 1}{(s-1)(s+2)(s+3)}$$

解：初值：

$$f(0^+) = \lim_{t \rightarrow 0^+} f(t) = \lim_{s \rightarrow \infty} s \frac{s^2 + 2s + 1}{(s-1)(s+2)(s+3)} = 1$$

终值：

$$f(\infty) = \lim_{t \rightarrow \infty} f(t) = \lim_{s \rightarrow 0} s \frac{s^2 + 2s + 1}{(s-1)(s+2)(s+3)} = 0$$

由于  $F(s)$  在  $s$  平面的右半平面上有一个极点  $p_1=1$ ，所以  $f(t)$  不存在终值。

□ 下列象函数反变换  $f(t)$  的初值和终值。

$$F(s) = \frac{s^3 + s^2 + 2s + 1}{s^3 + 6s^2 + 11s + 6} = \frac{s^3 + s^2 + 2s + 1}{(s+1)(s+2)(s+3)}$$

解：初值：

$$f(0^+) = \lim_{t \rightarrow 0^+} f(t) = \lim_{s \rightarrow \infty} s \frac{s^3 + s^2 + 2s + 1}{s^3 + 6s^2 + 11s + 6} = \infty$$

$$F(s) = 1 + \frac{-(5s^2 + 9s + 5)}{s^3 + 6s^2 + 11s + 6}$$

$$f(0^+) = \lim_{t \rightarrow 0^+} f(t) = \lim_{s \rightarrow \infty} s \frac{-(5s^2 + 9s + 5)}{s^3 + 6s^2 + 11s + 6} = -5$$

终值：

$$f(\infty) = \lim_{t \rightarrow \infty} f(t) = \lim_{s \rightarrow 0} s \frac{s^3 + s^2 + 2s + 1}{s^3 + 6s^2 + 11s + 6} = 0$$

# 拉氏逆变换

复变积分，直接  
求解繁琐。

拉氏逆变换的定义：

$$f(t) = \frac{1}{2\pi j} \int_{\sigma-j\infty}^{\sigma+j\infty} F_b(s) \cdot e^{st} ds$$

部分分式法：

用拉氏变换分析LTI系统时，大多 $F(s)$ 为有理函数，将高阶的有理函数化为低阶有理函数之和，再通过查表的方法，找出 $F(s)$ 的LT反变换。

留数法：

通过复变函数的理论，求围线内极点留数的方法，来求解复变积分。



## 拉普拉斯逆变换——部分分式法

一个信号的拉普拉斯变换通常可以表示为两个 $s$ 的有理多项式之比

$$F(s) = \frac{N(s)}{D(s)} = K \frac{s^m + b_{m-1}s^{m-1} + \cdots + b_1s + b_0}{s^n + a_{n-1}s^{n-1} + \cdots + a_1s + a_0}$$

当 $m < n$ 时为有理真分式；当 $m \geq n$ 时为假分式。通过长除法可以把一个假分式变为一个 $s$ 多项式和一个有理真分式之和，即

$$F(s) = c_{m-n}s^{m-n} + c_{m-n-1}s^{m-n-1} + \cdots + c_1s + c_0 + \frac{N_1(s)}{D(s)}$$

式中各项 $s$ 幂函数对应于时域的冲激函数及其各阶导数。因此，剩下的问题是求一个 $s$ 有理真分式的拉普拉斯逆变换。

设  $F(s)$  是真分式，其分母多项式  $D(s)$  可以分解为  $n$  个因子的乘积，即

$$F(s) = \frac{N(s)}{D(s)} = K \frac{N(s)}{(s-p_1)(s-p_2)\cdots(s-p_n)}$$

式中  $p_1, p_2, \cdots, p_n$  是分母多项式  $D(s)$  的根，即  $F(s)$  的极点。



根据极点的不同形式， $F(s)$  可分解为不同形式的典型部分分式的和。



分别求取各部分方式对应的时域信号，再把这些信号叠加，即得  $F(s)$  的原函数  $f(t)$ 。

## 1. 极点为单根

如果  $F(s)$  含有  $k$  个互不相同的实数极点，则这些极点可分解为如下形式的部分分式

$$F_{pa}(s) = \frac{A_1}{s - p_1} + \frac{A_2}{s - p_2} + \cdots + \frac{A_p}{s - p_k}$$

$F_{pa}(s)$  表示  $F(s)$  中对应这些极点的部分。各部分分式的系数为

$$A_i = (s - p_i)F(s) \Big|_{s=p_i}$$

$F_{pa}(s)$  对应的时域函数为

$$f_{pa}(t) = A_1 e^{p_1 t} + A_2 e^{p_2 t} + \cdots + A_k e^{p_k t}$$

[例] 
$$F(s) = \frac{1}{(s+1)(s+2)} = \frac{k_1}{s+1} + \frac{k_2}{s+2}$$

解:

$$k_1 = F(s)(s+1)\big|_{s=-1} = 1$$

$$k_2 = F(s)(s+2)\big|_{s=-2} = -1$$

$$F(s) = \frac{1}{s+1} - \frac{1}{s+2}$$

所以

$$f(t) = (e^{-t} - e^{-2t})u(t)$$

如果  $F(s)$  含有复数极点，则一定成对共轭出现。假设  $F(s)$  含有一对共轭极点  $p_{1,2} = \alpha \pm j\beta$ ，则对应的部分分式为

$$F_{pa}(s) = \frac{A}{s - \alpha - j\beta} + \frac{B}{s - \alpha + j\beta}$$

部分分式的系数为

$$A = (s - \alpha - j\beta)F(s) \Big|_{s=\alpha+j\beta}$$

$$B = (s - \alpha + j\beta)F(s) \Big|_{s=\alpha-j\beta}$$

$A$  和  $B$  也是共轭关系。 $F_{pa}(s)$  对应的时域函数为

$$\begin{aligned} f_{pa}(t) &= Ae^{(\alpha+j\beta)t} + Be^{(\alpha-j\beta)t} \\ &= e^{\alpha t} (C \cos \beta t + D \sin \beta t) \end{aligned}$$

例：

$$\text{求 } F(s) = \frac{s^2 + 3}{(s + 2)(s^2 + 2s + 5)} \text{ 的逆变换 } f(t)。$$

$$\begin{aligned} \text{解： } F(s) &= \frac{s^2 + 3}{(s + 1 + j2)(s + 1 - j2)(s + 2)} \\ &= \frac{K_0}{s + 2} + \frac{K_1}{s + 1 - j2} + \frac{K_2}{s + 1 + j2} \end{aligned}$$

$$K_0 = (s + 2)F(s) \Big|_{s=-2} = \frac{7}{5}$$

$$K_1 = \frac{s^2 + 3}{(s + 2)(s + 1 + j2)} \Big|_{s=-1+j2} = \frac{-1 + j2}{5}$$

$$K_2 = K_1^*$$

$$f(t) = \frac{7}{5}e^{-2t} + 2e^{-t} \left[ -\frac{1}{5}\cos(2t) - \frac{2}{5}\sin(2t) \right] \quad (t \geq 0)$$

以上过程较繁琐，可将 $F(s)$ 分成以下的形式(配平方)

$$\frac{As + D}{s^2 + bs + c} = A \cdot \frac{s + \gamma}{(s + \alpha)^2 + \beta^2}$$

$$\frac{s + \gamma}{(s + \alpha)^2 + \beta^2} = \frac{s + \alpha}{(s + \alpha)^2 + \beta^2} - \frac{\alpha - \gamma}{\beta} \frac{\beta}{(s + \alpha)^2 + \beta^2}$$



$$e^{-\alpha t} \cos \beta t \cdot u(t)$$



$$\frac{\alpha - \gamma}{\beta} e^{-\alpha t} \sin \beta t \cdot u(t)$$

$$f(t) = e^{-\alpha t} \cos(\beta t) - \frac{\alpha - \gamma}{\beta} e^{-\alpha t} \sin(\beta t) \quad (t \geq 0)$$

关键：由待定系数法，确定系数 $A, D, b, c$ 。

## 2. 极点为重根

如果  $F(s)$  含有  $k$  阶重复的实数极点, 即  $p_1 = p_2 = \cdots = p_k$ , 这些极点可分解为如下形式的部分分式

$$F_{pa}(s) = \frac{A_1}{(s - p_1)^k} + \frac{A_2}{(s - p_1)^{k-1}} + \cdots + \frac{A_k}{s - p_1}$$

各部分分式的系数为

$$A_1 = (s - p_1)^k F(s) \Big|_{s=p_1}$$

$$A_2 = \left[ \frac{d}{ds} \left[ (s - p_1)^k F(s) \right] \right]_{s=p_1}$$

$$A_3 = \left[ \frac{1}{2!} \frac{d^2}{ds^2} \left[ (s - p_1)^k F(s) \right] \right]_{s=p_1}$$

$$A_k = \left[ \frac{1}{(k-1)!} \frac{d^{k-1}}{ds^{k-1}} \left[ (s - p_1)^k F(s) \right] \right]_{s=p_1}$$

$$\mathcal{L} \left[ t^n \right] = \frac{n!}{s^{n+1}}$$

$$\mathcal{L} \left[ t^n \cdot e^{p_1 t} \right] = \frac{n!}{(s - p_1)^{n+1}}$$



$F_{pa}(s)$  对应的时域函数为

$$f_{pa}(t) = \frac{A_1}{(k-1)!} t^{k-1} e^{p_1 t} + \frac{A_2}{(k-2)!} t^{k-2} e^{p_1 t} + \dots + A_k e^{p_1 t}$$

$F(s)$  也可能含有  $k$  阶重复的共轭复数极点，此处不再详细介绍。

清华大学电机系  
信号与系统

## 问题1

如果  $F(s)$  的收敛边界是  $s$  平面的虚轴，则  $f(t)$  经典意义上的傅立叶变换不存在，但扩展意义上的傅立叶变换存在，其中包含冲激函数。设  $F(s)$  虚轴上有  $N$  个单极点，则  $F(s)$  可表示为以下形式

$$F(s) = F_l(s) + \sum_{i=1}^N \frac{k_i}{(s - j\omega_i)^n}$$

上式的逆变换为：

$$f(t) = f_l(t) + \sum_{i=1}^N k_i e^{j\omega_i t} u(t)$$

$$\mathcal{L}[t^n] = \frac{n!}{s^{n+1}}$$

$$\mathcal{L}[t^n \cdot e^{p_1 t}] = \frac{n!}{(s - p_1)^{n+1}}$$

$$\begin{aligned} \mathcal{F}[f(t)] &= F_l(s) \Big|_{s=j\omega} + \sum_{i=1}^N k_i \left\{ \delta(\omega - \omega_i) * \left[ \pi\delta(\omega) + \frac{1}{j\omega} \right] \right\} \\ &= F_l(s) \Big|_{s=j\omega} + \sum_{i=1}^N \frac{k_i}{j(\omega - \omega_i)} + \sum_{i=1}^N k_i \pi \delta(\omega - \omega_i) \\ &= F(s) \Big|_{s=j\omega} + \pi \sum_{i=1}^N k_i \delta(\omega - \omega_i) \end{aligned}$$

## 例：有重根存在，求逆变换

$$F(s) = \frac{s^2}{(s+2)(s+1)^2} = \frac{k_1}{s+2} + \frac{k_2}{s+1} + \frac{k_3}{(s+1)^2}$$

$k_1$  为单根系数， $k_3$  为重根最高次系数

$$k_1 = (s+2) \frac{s^2}{(s+2)(s+1)^2} \Big|_{s=-2} = 4$$

$$k_3 = (s+1)^2 \frac{s^2}{(s+2)(s+1)^2} \Big|_{s=-1} = 1$$

如何求 $k_2$ ？

设法使部分分式只保留 $k_2$ ，其他分式为0

如何求 $k_2$ ?

$$K_2 = \frac{d}{ds}[(s+1)^2 F(s)] = \frac{d}{ds} \left[ \frac{s^2}{s+2} \right] \quad s = -1$$
$$= \frac{2s(s+2) - s^2}{(s+2)^2} = \frac{s^2 + 4s}{(s+2)^2}$$

此时令 $s = -1$ ,

$$k_2 = \left. \frac{s^2 + 4s}{(s+2)^2} \right|_{s=-1} = -3$$

# 逆变换

$$F(s) = \frac{4}{s+2} + \frac{-3}{s+1} + \frac{1}{(s+1)^2}$$

$$\text{所以 } f(t) = \mathcal{L}^{-1}[F(s)] = 4e^{-2t} - 3e^{-t} + te^{-t} \quad (t \geq 0)$$

$$F(s) = \frac{s^2}{(s+2)(s+1)^2} = \frac{k_1}{s+2} + \frac{\textcolor{red}{k}_2}{s+1} + \frac{k_3}{(s+1)^2}$$

# 拉普拉斯变换求解线性系统

如前所述，一个输入为 $e(t)$ 、输出为 $r(t)$ 的线性时不变系统可以用一个线性常系数微分方程来描述

$$\begin{aligned} & \frac{d^n r(t)}{dt^n} + a_{n-1} \frac{d^{n-1} r(t)}{dt^{n-1}} + \cdots + a_1 \frac{dr(t)}{dt} + a_0 r(t) \\ &= b_m \frac{d^m e(t)}{dt^m} + b_{m-1} \frac{d^{m-1} e(t)}{dt^{m-1}} + \cdots + b_1 \frac{de(t)}{dt} + b_0 e(t) \end{aligned}$$

求解此 $n$ 阶微分方程，需要 $n$ 个初始条件： $r(0_-), r'(0_-), r''(0_-), \cdots, r^{(n-1)}(0_-)$ 。

对此方程两边取拉普拉斯变换，有

$$\begin{aligned} & \left[ s^n R(s) - s^{n-1} r(0_-) - \cdots - s r^{(n-2)}(0_-) - r^{(n-1)}(0_-) \right] \\ &+ a_{n-1} \left[ s^{n-1} R(s) - s^{n-2} r(0_-) - \cdots - s r^{(n-3)}(0_-) - r^{(n-2)}(0_-) \right] \\ &+ \cdots \\ &+ a_1 [sR(s) - r(0_-)] \\ &+ a_0 R(s) \\ &= b_m s^m E(s) + b_{m-1} s^{m-1} E(s) + \cdots + b_1 s E(s) + b_0 E(s) \end{aligned}$$

整理得

$$\begin{aligned}& (s^n + a_{n-1}s^{n-1} + \cdots + a_1s + a_0)R(s) \\& - r(0_-)s^{n-1} \\& - [r'(0_-) + a_{n-1}r(0_-)]s^{n-2} \\& - \cdots \\& - [r^{(n-2)}(0_-) + a_{n-1}r^{(n-3)}(0_-) + a_{n-2}r^{(n-4)}(0_-) + \cdots + a_2r(0_-)]s \\& - [r^{(n-1)}(0_-) + a_{n-1}r^{(n-2)}(0_-) + a_{n-2}r^{(n-3)}(0_-) + \cdots + a_1r(0_-)] \\& = [b_ms^m + b_{m-1}s^{m-1} + \cdots + b_1s + b_0]E(s)\end{aligned}$$

在复频域为代数方程，可简写为

$$D(s)R(s) - B(s) = N(s)E(s)$$

或

$$R(s) = \frac{N(s)}{D(s)}E(s) + \frac{B(s)}{D(s)}$$

令

$$H(s) = \frac{N(s)}{D(s)} = \frac{b_ms^m + b_{m-1}s^{m-1} + \cdots + b_1s + b_0}{s^n + a_{n-1}s^{n-1} + \cdots + a_1s + a_0}$$

有

$$R(s) = H(s)E(s) + \frac{B(s)}{D(s)}$$

式中右边第一项是系统零状态响应，第二项是系统的零输入响应，有

$$R_{zs}(s) = H(s)E(s)$$

$$R_{zi}(s) = \frac{B(s)}{D(s)}$$

$$R(s) = R_{zs}(s) + R_{zi}(s)$$

当系统为零初始状态时， $B(s) = 0$ ，因此 $R_{zi}(s) = 0$ 。

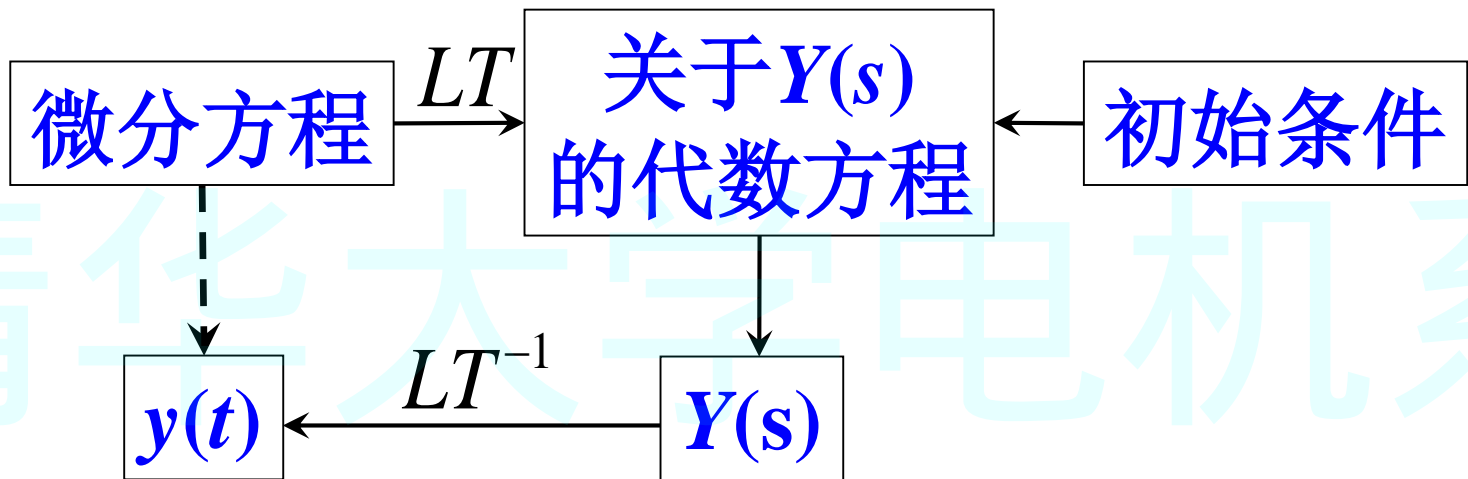
进行拉普拉斯逆变换，可求系统时域响应

$$r_{zs}(t) = \mathcal{L}^{-1}[R_{zs}(s)] = \mathcal{L}^{-1}[H(s)E(s)]$$

$$r_{zi}(t) = \mathcal{L}^{-1}[R_{zi}(s)] = \mathcal{L}^{-1}\left[\frac{B(s)}{D(s)}\right]$$

$$r(t) = \mathcal{L}^{-1}[R(s)] = \mathcal{L}^{-1}[R_{zs}(s) + R_{zi}(s)]$$





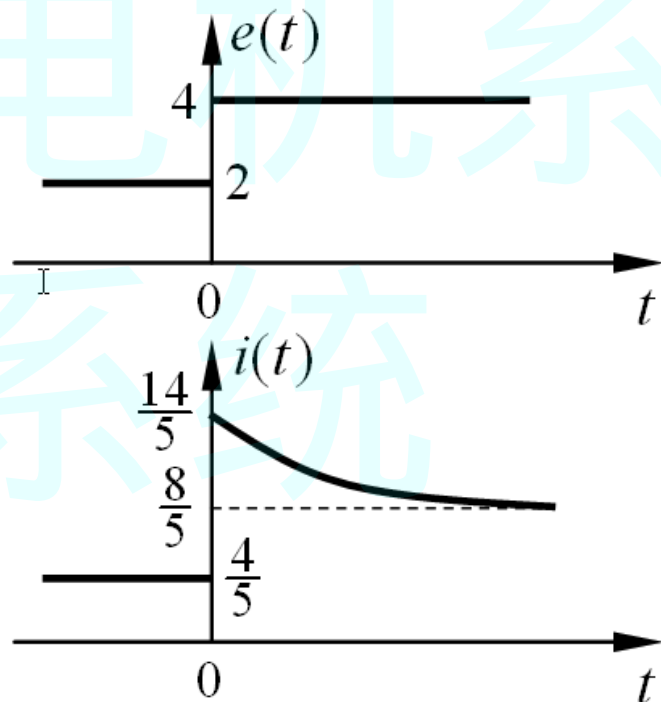
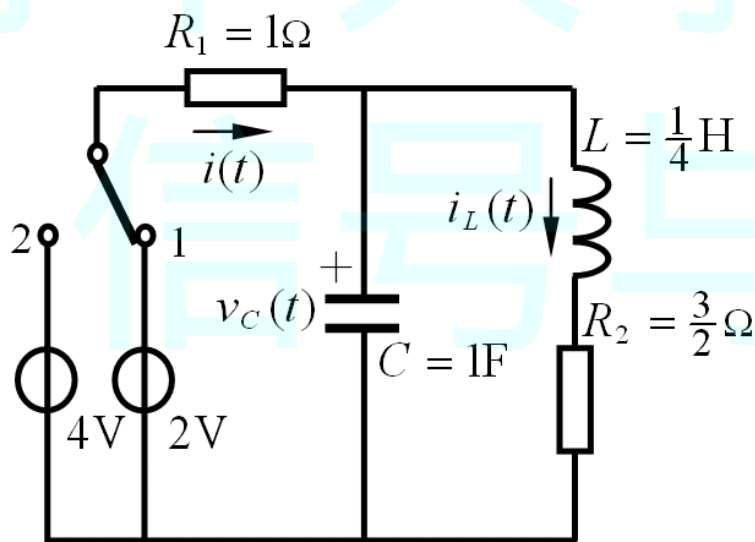
例1 用拉普拉斯变换求解下列方程（第二章电路题）。

解：已知电路系统的微分方程

$$\frac{d^2}{dt^2}i(t) + 7\frac{d}{dt}i(t) + 10i(t) = \frac{d^2}{dt^2}e(t) + 6\frac{d}{dt}e(t) + 4e(t)$$

系统初始状态为： $i(0_-) = \frac{4}{5}\text{A}$ ； $\frac{d}{dt}i(0_-) = 0\text{A/s}$

系统激励为 $e(t) = 2 + 2u(t)$ ，有



系统激励为  $e(t) = 2 + 2u(t)$ ，有

$$e(0_-) = 2V; \quad \frac{d}{dt}e(0_-) = 0V/s; \quad E(s) = L[e(t)] = \frac{4}{s}$$

$$i(0_-) = \frac{4}{5}A$$
$$\frac{d}{dt}i(0_-) = 0A/s$$

$$\frac{d^2}{dt^2}i(t) + 7\frac{d}{dt}i(t) + 10i(t) = \frac{d^2}{dt^2}e(t) + 6\frac{d}{dt}e(t) + 4e(t)$$

对微分方程两边取拉普拉斯变换，得

$$\left[ s^2 I(s) - \frac{4}{5}s \right] + 7 \left[ s I(s) - \frac{4}{5} \right] + 10 I(s) = \left[ s^2 E(s) - 2s \right] + 6 \left[ s E(s) - 2 \right] + 4 E(s)$$

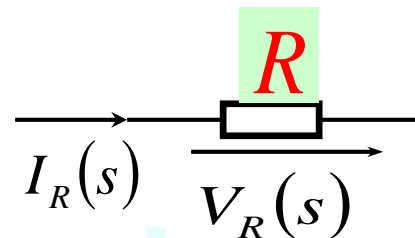
→ 
$$I(s) = \frac{14s^2 + 88s + 80}{5s(s^2 + 7s + 10)} = \frac{14s^2 + 88s + 80}{5s(s+2)(s+5)} = \frac{8}{5} \frac{1}{s} + \frac{4}{3} \frac{1}{s+2} - \frac{2}{15} \frac{1}{s+5}$$

→ 
$$i(t) = \frac{8}{5} + \frac{4}{3}e^{-2t} - \frac{2}{15}e^{-5t} \quad t \geq 0$$

不列写微分方程，直接将电路化为s域模型（回路分析）

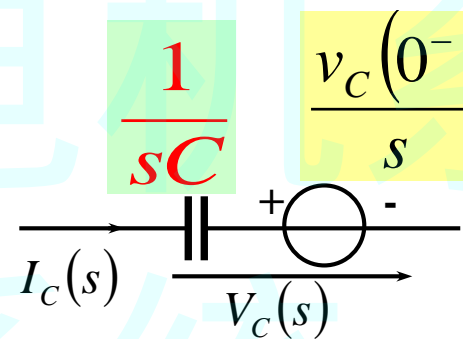
电阻

$$\begin{cases} v_R(t) = R \cdot i_R(t) \\ V_R(s) = R \cdot I_R(s) \end{cases}$$



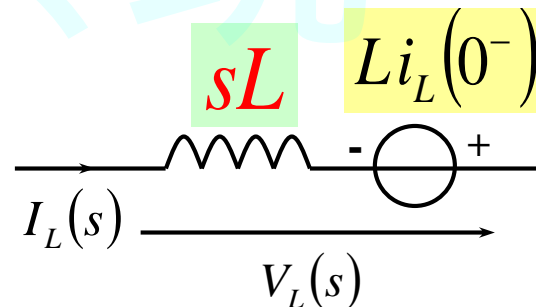
电容

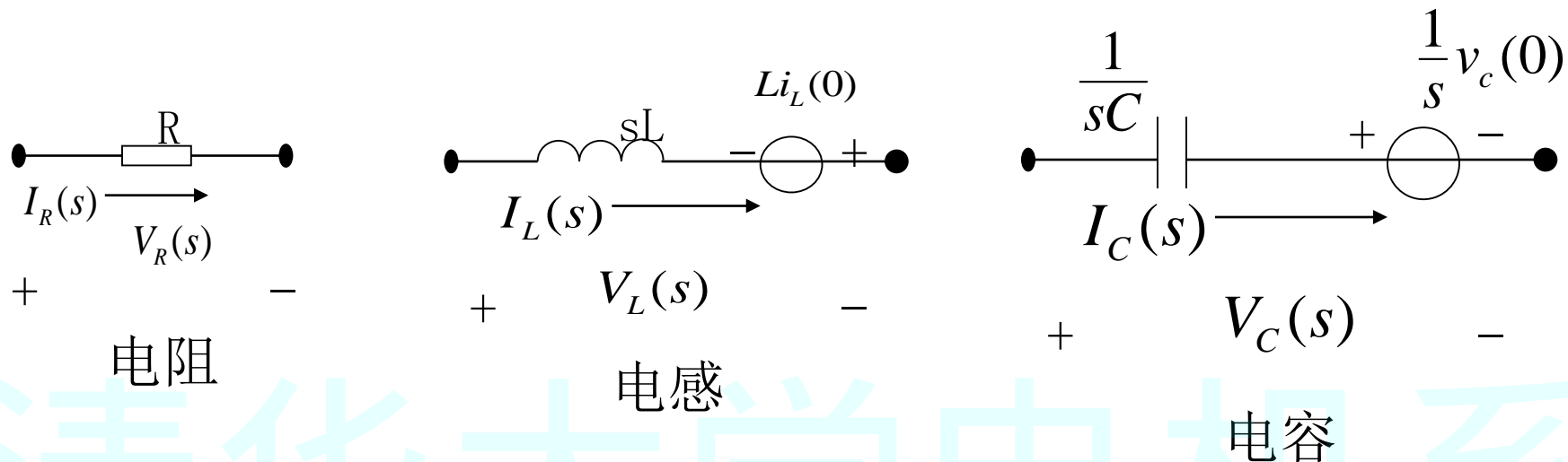
$$\begin{cases} i_C(t) = C \frac{du_C(t)}{dt} \\ V_C(s) = \frac{1}{sC} I_C(s) + \frac{V_C(0^-)}{s} \end{cases}$$



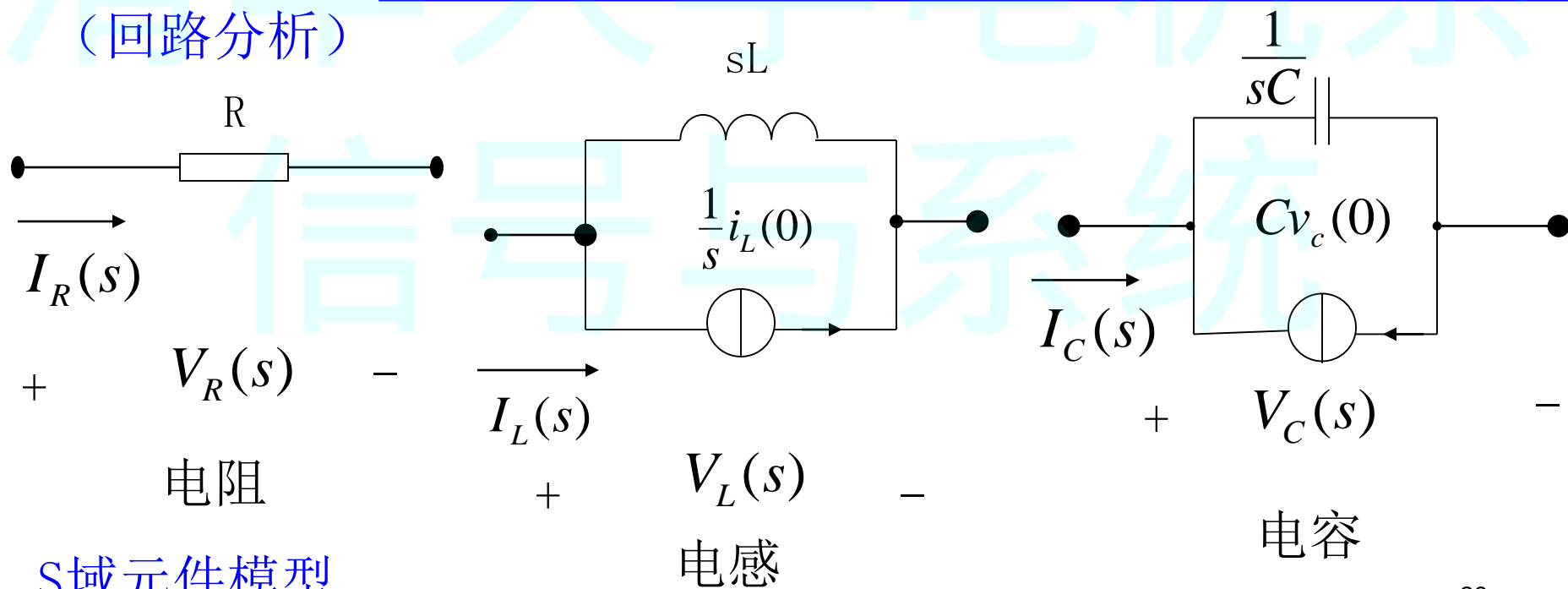
电感

$$\begin{cases} v_L(t) = L \frac{di_L(t)}{dt} \\ V_L(s) = sLI_L(s) - Li_L(0^-) \end{cases}$$





S域元件模型  
(回路分析)



S域元件模型  
(结点分析)

# 求响应的步骤

---

- 画0\_等效电路，求起始状态；
- 画s域等效模型；
- 列s域方程（代数方程）；
- 解s域方程，求出响应的拉氏变换 $V(s)$ 或 $I(s)$ ；
- 拉氏反变换求 $v(t)$ 或 $i(t)$ 。

## 例

$$\text{已知 } e(t) = \begin{cases} -E & t < 0 \\ E & t > 0 \end{cases}$$

利用 $s$ 域模型求 $v_C(t) = ?$

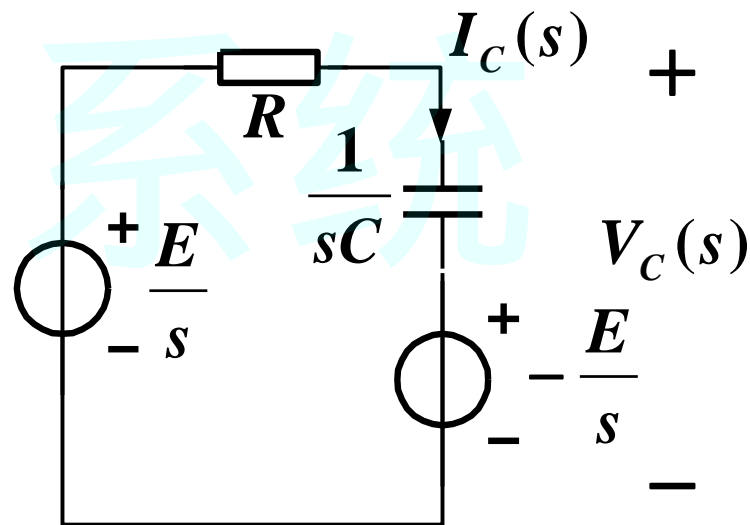
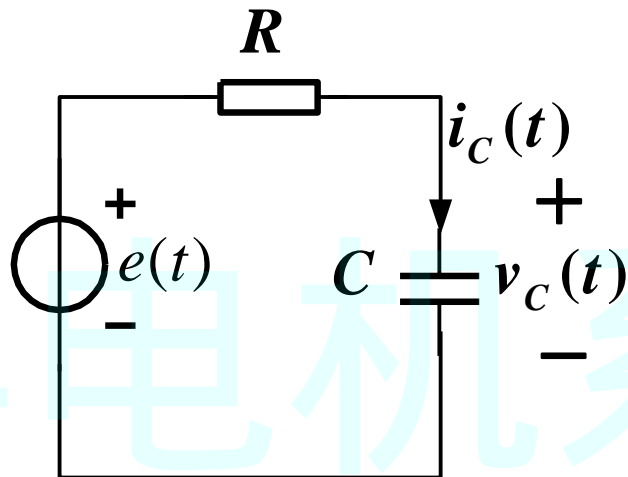
解答

$$e(t) = -Eu(-t) + Eu(t)$$

$$v_C(0_-) = -E$$

列 $s$ 域方程:

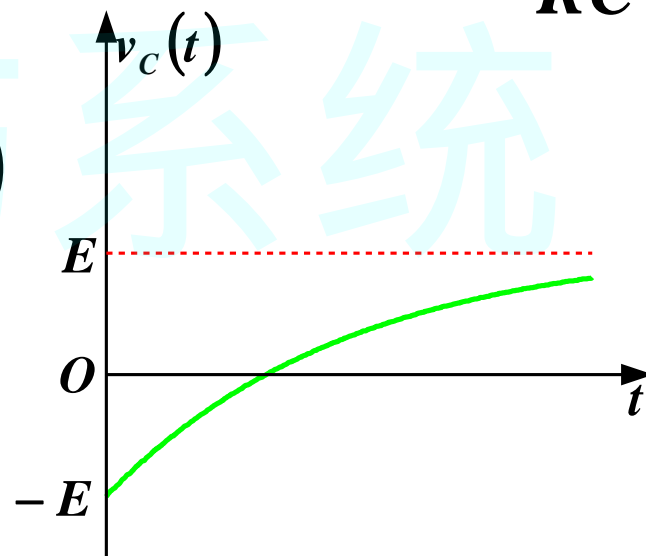
$$I_C(s) \left( R + \frac{1}{sC} \right) = \frac{E}{s} + \frac{E}{s}$$



所以 
$$I_C(s) = \frac{2E}{s\left(R + \frac{1}{sC}\right)}$$

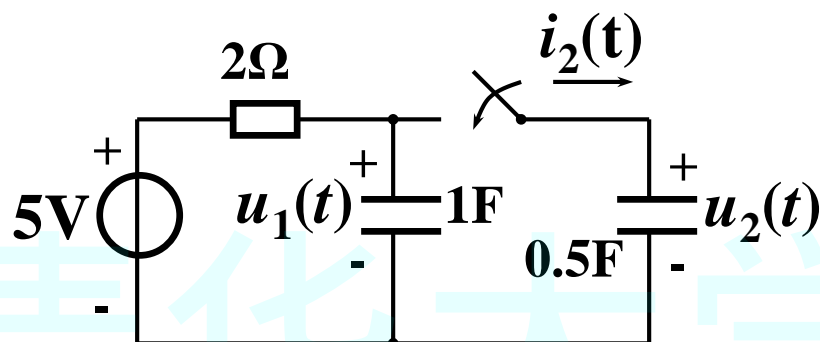
$$V_C(s) = I_C(s) \cdot \frac{1}{sC} + \frac{-E}{s} \quad V_C(s) = \frac{E}{s} - \frac{2E}{s + \frac{1}{RC}}$$

$$v_C(t) = E\left(1 - 2e^{-\frac{t}{RC}}\right) \quad (t \geq 0)$$

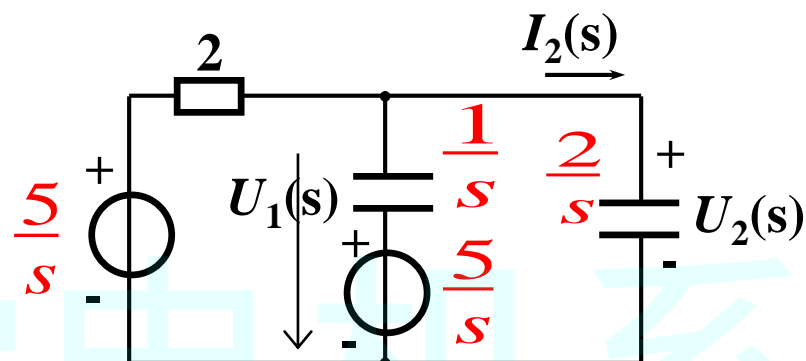




[例] 求 $i_2(t)$ 和 $u_2(t)$ 。已知 $u_2(0^-)=0$ ，开关在 $t=0$ 时闭合。



图a



图b

[解] 由图a，求出 $u_1(0^-)=5V$ ，画出运算电路图b。

应用节点电压法 
$$\left( \frac{1}{2} + s + \frac{s}{2} \right) U_2(s) = \frac{5}{2s} + 5$$

则 
$$U_2(s) = \frac{10s + 5}{3s(s + \frac{1}{3})} = \frac{5}{s} - \frac{\frac{5}{3}}{s + \frac{1}{3}}$$

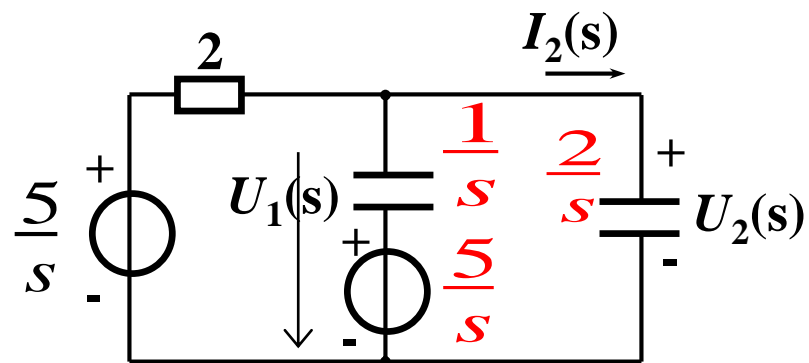
$$\frac{\left(\frac{5}{s} - U_2(s)\right)}{2} = \frac{U_2(s)}{\frac{2}{s}} + \frac{U_2(s) - \frac{5}{s}}{\frac{1}{s}}$$



$$\left(\frac{1}{2} + s + \frac{s}{2}\right)U_2(s) = \frac{5}{2s} + 5$$



$$U_2(s) = \frac{10s + 5}{3s\left(s + \frac{1}{3}\right)} = \frac{5}{s} - \frac{\frac{5}{3}}{s + \frac{1}{3}}$$



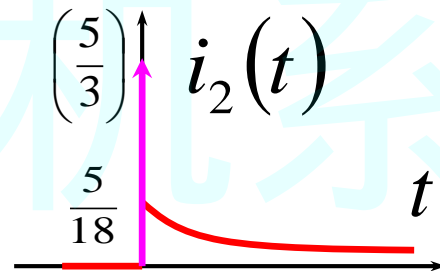
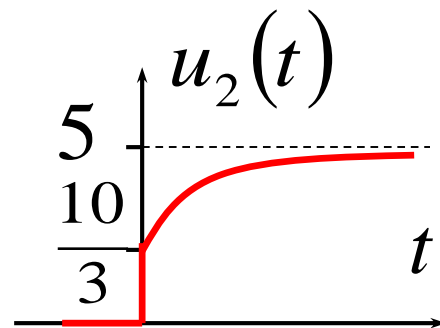
$$U_2(s) = \frac{5}{s} - \frac{\frac{5}{3}}{s + \frac{1}{3}}$$

$$I_2(s) = \frac{s}{2} U_2(s) = \frac{5}{3} + \frac{5}{18(s + \frac{1}{3})}$$

拉氏反变换

$$u_2(t) = \left( 5 - \frac{5}{3} e^{-\frac{t}{3}} \right) u(t)$$

$$i_2(t) = \frac{5}{3} \delta(t) + \frac{5}{18} e^{-\frac{t}{3}} u(t)$$



注意到， $u_2(0^+) = 10/3V$ ，而 $u_2(0^-) = 0$ ，电容电压在 $t=0$ 处发生了跃变。这是冲激电流  $\frac{5}{3} \delta(t)$  对电容器充电的结果。

$$u_C(0^+) = \frac{1}{0.5} \int_{0^-}^{0^+} \frac{5}{3} \delta(t) dt = \frac{10}{3} V$$

## 系统函数

已知线性时不变系统的微分方程

$$\begin{aligned} r^{(n)}(t) + a_{n-1}r^{(n-1)}(t) + \cdots + a_1r^{(1)}(t) + a_0r(t) \\ = b_me^{(m)}(t) + b_{m-1}e^{(m-1)}(t) + \cdots + b_1e^{(1)}(t) + b_0e(t) \end{aligned}$$

取零初始状态下方程两边的拉普拉斯变换，得

$$\begin{aligned} s^n R_{zs}(s) + a_{n-1}s^{n-1}R_{zs}(s) + \cdots + a_1sR_{zs}(s) + a_0R_{zs}(s) \\ = b_ms^mE(s) + b_{m-1}s^{m-1}E(s) + \cdots + b_1sE(s) + b_0E(s) \end{aligned}$$

令 
$$H(s) = \frac{b_ms^n + b_{m-1}s^{n-1} + \cdots + b_1s + b_0}{s^n + a_{n-1}s^{n-1} + \cdots + a_1s + a_0}$$

有 
$$R_{zs}(s) = H(s)E(s)$$

定义  $H(s)$  为线性时不变系统的系统函数，系统零状态响应的拉普拉斯变换

$R_{zs}(s)$  是系统函数  $H(s)$  和系统激励的拉普拉斯变换  $E(s)$  的乘积。

前面已经学习过，系统的零状态响应  $r_{zs}(t)$  是系统激励  $e(t)$  和系统单位冲激响应  $h(t)$  的卷积

$$r_{zs}(t) = e(t) * h(t)$$

两边进行拉普拉斯变换，根据拉普拉斯变换的时域卷积特性，有

$$R(s) = E(s)H(s)$$

其中  $H(s)$  是系统单位冲激响应的拉普拉斯变换

$$H(s) = \mathcal{L}[h(t)]$$

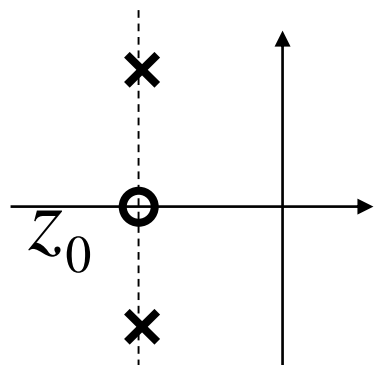
由此可见，系统函数也是系统单位冲激响应的拉普拉斯变换。

# 由系统函数的极点分布分析系统响应的特征

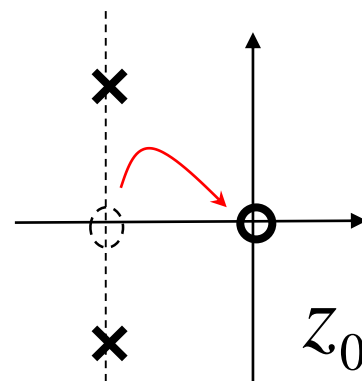
$$H(s) = K \frac{\prod_{j=1}^m (s - z_j)}{\prod_{i=1}^n (s - p_i)}$$

- 系统函数的极点决定了系统单位冲激响应 $h(t)$ 所包含的所有特征分量，极点给出了各分量的频率和衰减。
- 系统函数的零点只影响 $h(t)$ 各特征分量的幅值和初始相位，但不影响频率和衰减。

# 零点的影响



零点移动到原点



$$H(s) = \frac{s + a}{(s + a)^2 + \omega^2}$$

$$\hat{H}(s) = \frac{s}{(s + a)^2 + \omega^2}$$

$$h(t) = e^{-at} \cos \omega t$$

$$\hat{h}(t) = e^{-at} \sqrt{1 + \left(\frac{a}{\omega}\right)^2} \cos(\omega t + \varphi)$$

$$\varphi = \operatorname{tg}^{-1} \left( \frac{a}{\omega} \right)$$

零点的分布只影响时域函数的幅度和相移，不影响振荡频率。

幅度多了一个因子

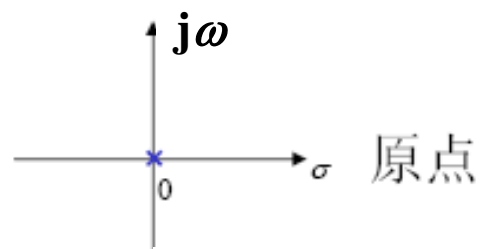
多了相移

极点位置

$H(s)$

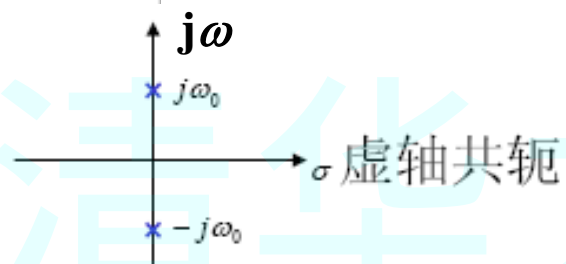
$h(t)$

时域波形



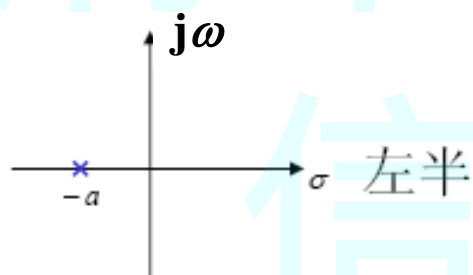
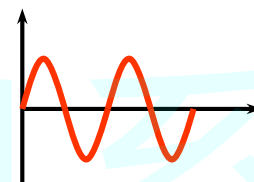
$$\frac{1}{s}$$

$$u(t)$$



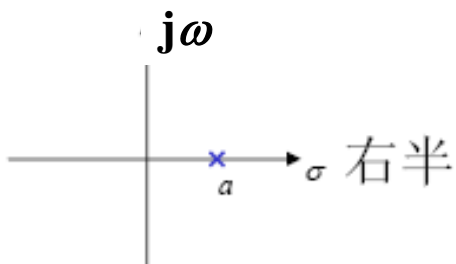
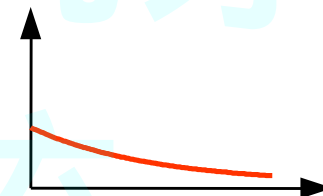
$$\frac{\omega_0}{s^2 + \omega_0^2}$$

$$\sin \omega_0 t$$



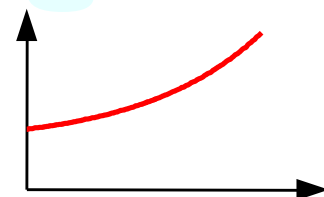
$$\frac{1}{s + a}$$

$$e^{-at}$$



$$\frac{1}{s - a}$$

$$e^{at}$$



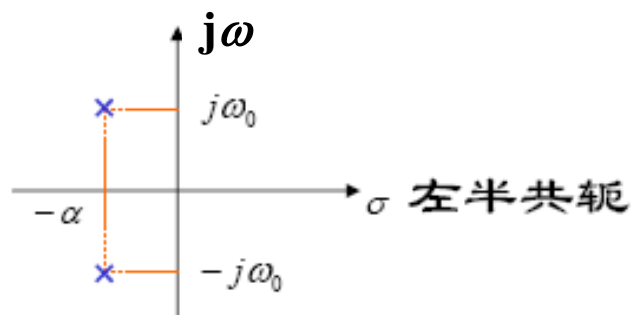


# 极点位置

$H(s)$

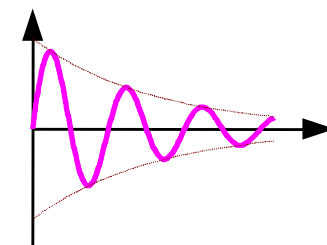
$h(t)$

时域波形

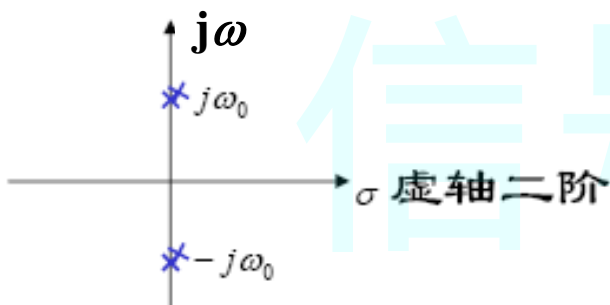
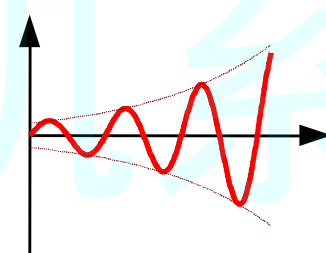


$$\frac{\omega_0}{(s + \alpha)^2 + \omega_0^2}$$

$$e^{-at} \sin \omega_0 t$$

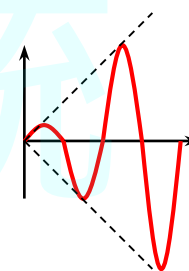


$\alpha < 0$ , 在右半共轭

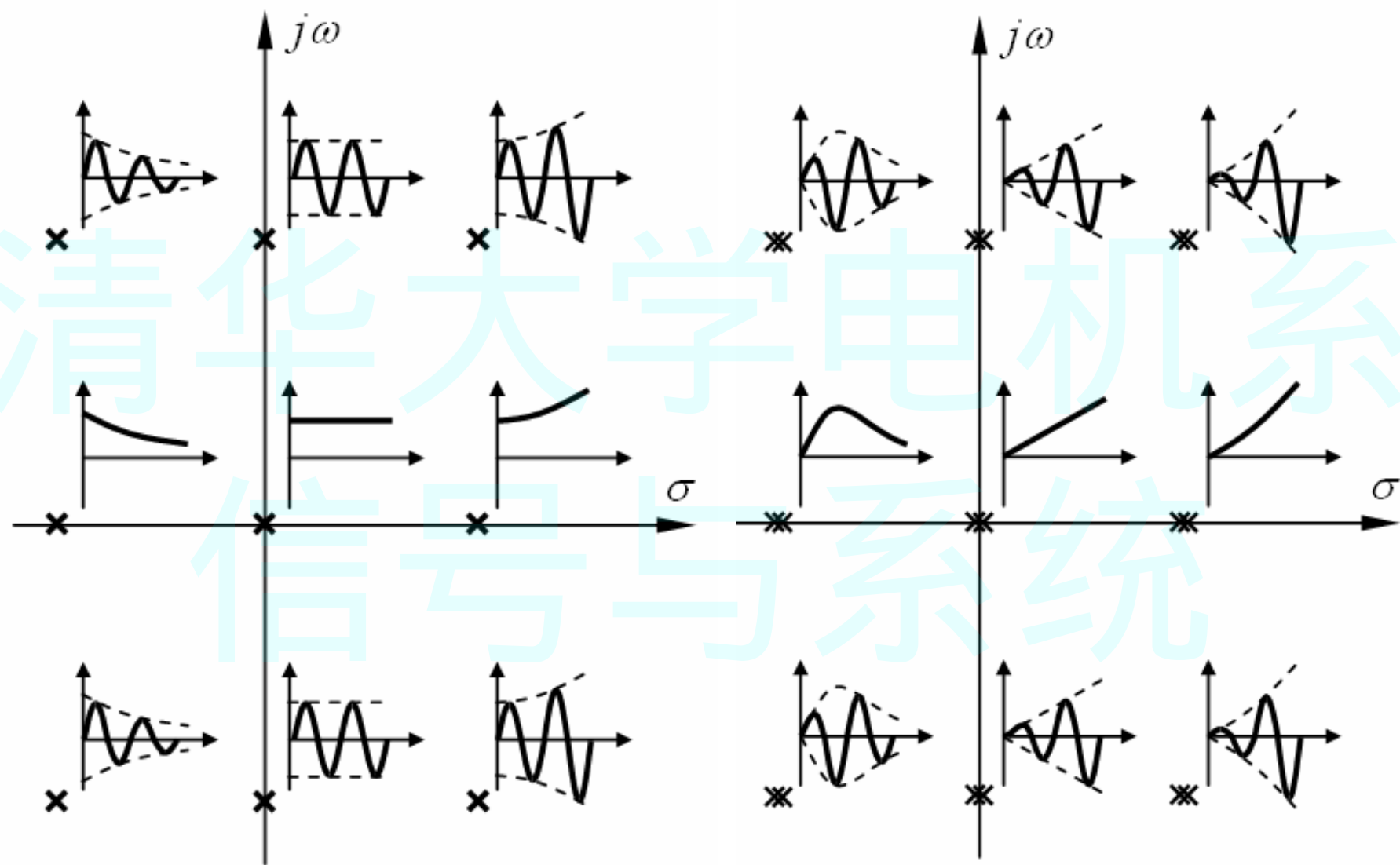


$$\frac{2\omega_0 s}{(s^2 + \omega_0^2)^2}$$

$$t \sin \omega_0 t$$



$s$  平面不同位置（单阶和二阶）极点对应的系统单位冲激响应特征示意图



## 结论:

---

极点在 $s$ 左半平面,  $h(t)$ 呈衰减形式——稳定

极点在 $s$ 右半平面,  $h(t)$ 呈增长形式——不稳定

极点在虚轴      一阶——临界稳定 (等幅振荡)  
                     $\geq$ 二阶——增长

因此, 从 $s$ 平面观察时域情况, 关键是极点的分布。

零点的影响: 不影响 $h(t)$ 函数波形特性, 只影响幅值和相位。

## □ 系统函数有可能出现零点和极点相消的情况

$$H(s) = K \frac{\prod_{j=1}^m (s - z_j)}{\prod_{i=1}^n (s - p_i)}$$

- (1) 如果存在零、极点相消，系统单位冲激响应中将不出现相消极点所对应的特征分量，系统的零状态响应中也将不出现相消极点所对应的自由响应分量
- (2) 系统的零输入响应（自由响应）中仍出现此分量。

$$\begin{aligned} & r^{(n)}(t) + a_{n-1}r^{(n-1)}(t) + \cdots + a_1r^{(1)}(t) + a_0r(t) \\ &= b_m e^{(m)}(t) + b_{m-1}e^{(m-1)}(t) + \cdots + b_1e^{(1)}(t) + b_0e(t) \end{aligned}$$

$$H(s) = \frac{b_ms^n + b_{m-1}s^{n-1} + \cdots + b_1s + b_0}{s^n + a_{n-1}s^{n-1} + \cdots + a_1s + a_0}$$

# 由系统函数的极点分布分析系统的稳定性

一个系统，如果对任意的有界输入，系统的输出也是有界的，则称该系统是有界输入有界输出（BIBO）稳定的系统，简称稳定系统。

对所有的激励信号 $e(t)$

$$|e(t)| \leq M_e$$

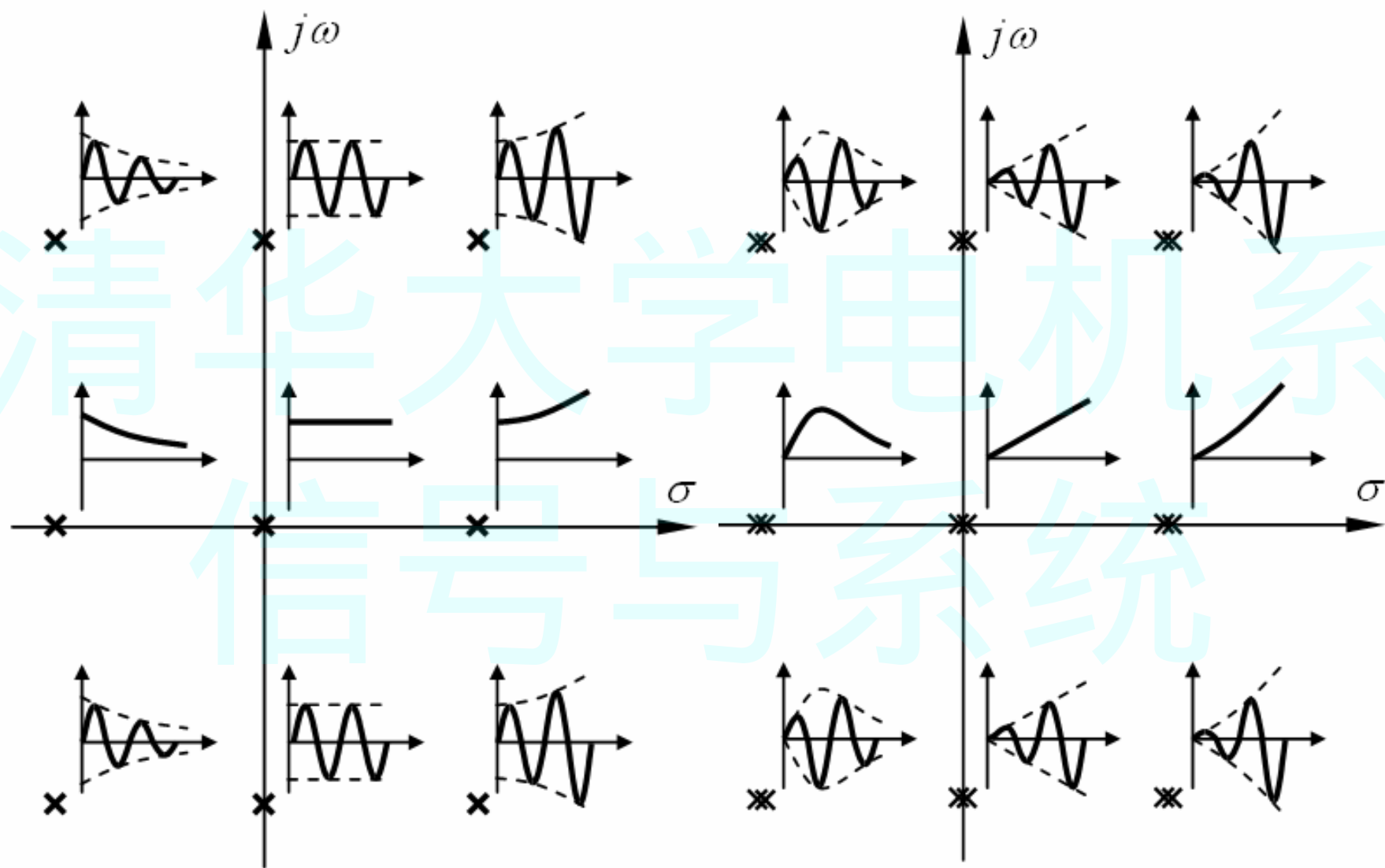
其响应 $r(t)$ 满足

$$|r(t)| \leq M_r$$

则称该系统是稳定的。式中， $M_e, M_r$ 为有界正值。  
稳定系统的充分必要条件是（绝对可积条件）：

$$\int_{-\infty}^{\infty} |h(t)| dt \leq M \quad M \text{ 为有界正值。}$$

$s$  平面不同位置（单阶和二阶）极点对应的系统单位冲激响应特征示意图



# 由 $H(s)$ 的极点位置判断系统稳定性

## 1. 稳定系统

若 $H(s)$ 的全部极点位于 $s$ 平面的左半平面（不包括虚轴），则可满足

$$\lim_{t \rightarrow \infty} h(t) = 0$$

系统是稳定的。

例如  $\frac{1}{s+p}$ ,  $p > 0$  系统稳定;

$\frac{1}{s^2 + ps + q}$   $p > 0, q > 0$  系统稳定。

## 2. 不稳定系统

如果 $H(s)$ 的极点位于 $s$ 右半平面，或在虚轴上有二阶（或以上）极点

$$\lim_{t \rightarrow \infty} h(t) \rightarrow \infty$$

系统是不稳定系统。

## 3. 临界稳定系统

如果 $H(s)$ 极点位于 $s$ 平面虚轴上，且只有一阶。

$t \rightarrow \infty, h(t)$  为非零数值或等幅振荡。



# 系统频率响应特性

如果系统单位冲激响应  $h(t)$  的傅立叶变换存在, 称为系统的频率响应特性

$$H(\omega) = \mathcal{F}[h(t)]$$

$$\text{零状态响应 } r(t) \longrightarrow r(t) = e(t) * h(t)$$

$$R(\omega) = E(\omega)H(\omega)$$

$$|R(\omega)|e^{j\phi_r(\omega)} = |E(\omega)|e^{j\phi_e(\omega)}|H(\omega)|e^{j\phi_h(\omega)} = \underline{|E(\omega)||H(\omega)|e^{j[\phi_e(\omega)+\phi_h(\omega)]}}$$

有  $|R(\omega)| = |E(\omega)||H(\omega)|$

$$\phi_r(\omega) = \phi_e(\omega) + \phi_h(\omega)$$

- 信号经过一个系统时, 系统对信号影响包括: 对各频率分量的幅值进行了加权, 对各频率分量相位进行了平移。
- $H(\omega)$  描述了系统对不同频率分量的影响, 所以称为系统的频率响应特性
- 系统稳定时,  $H(s)$ 在虚轴上的取值, 即为系统的频率响应特性:

$$H(\omega) = H(s)|_{s=j\omega}$$

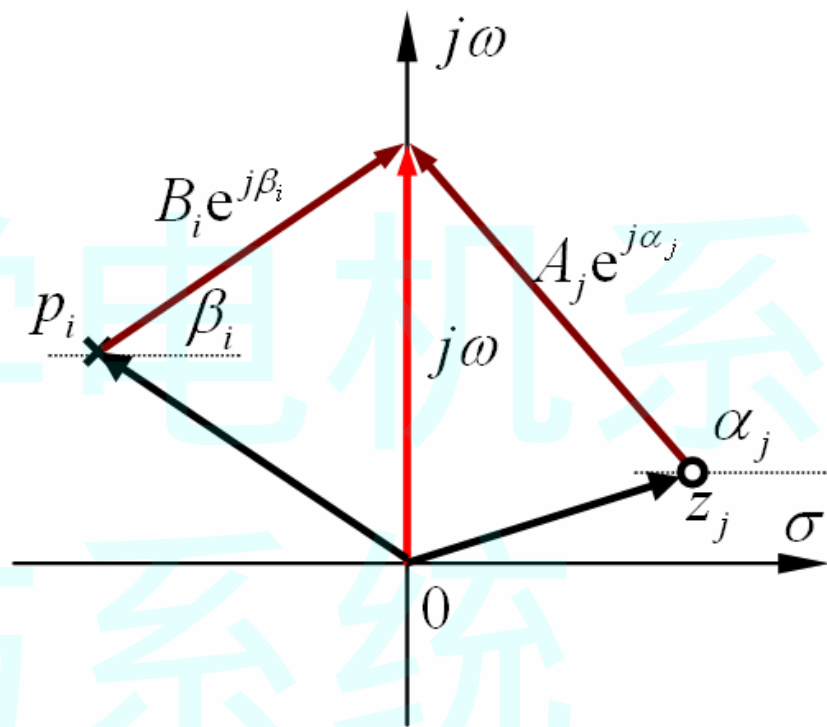
# 由系统函数的零极点分布分析系统的频率响应特性

根据系统函数  $H(s)$  的零极点分布可以用几何方法分析系统的频率响应特性。已知系统函数

$$H(s) = K \frac{\prod_{j=1}^m (s - z_j)}{\prod_{i=1}^n (s - p_i)}$$

系统的频率响应特性为

$$H(\omega) = H(s) \Big|_{s=j\omega} = K \frac{\prod_{j=1}^m (j\omega - z_j)}{\prod_{i=1}^n (j\omega - p_i)}$$



将复变量  $(j\omega - z_j)$  和  $(j\omega - p_i)$  写成极座标的形式

$$j\omega - z_j = A_j \exp(j\alpha_j)$$

$$j\omega - p_i = B_i \exp(j\beta_i)$$

则

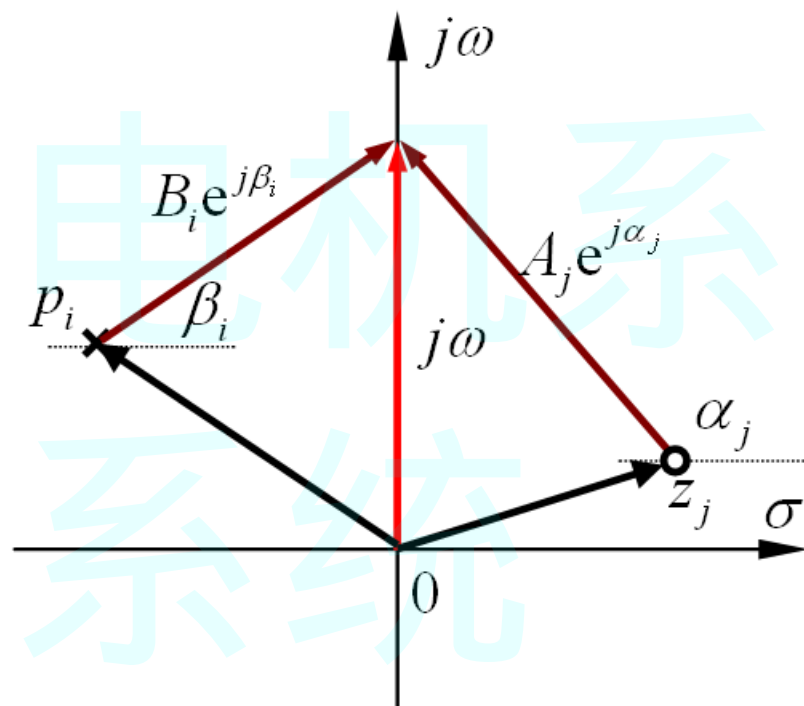
$$H(\omega) = K \frac{\prod_{j=1}^m A_j}{\prod_{i=1}^n B_i} \exp \left[ j \left( \sum_{j=1}^m \alpha_j - \sum_{i=1}^n \beta_i \right) \right] = |H(\omega)| \exp[j\phi(\omega)]$$

其中

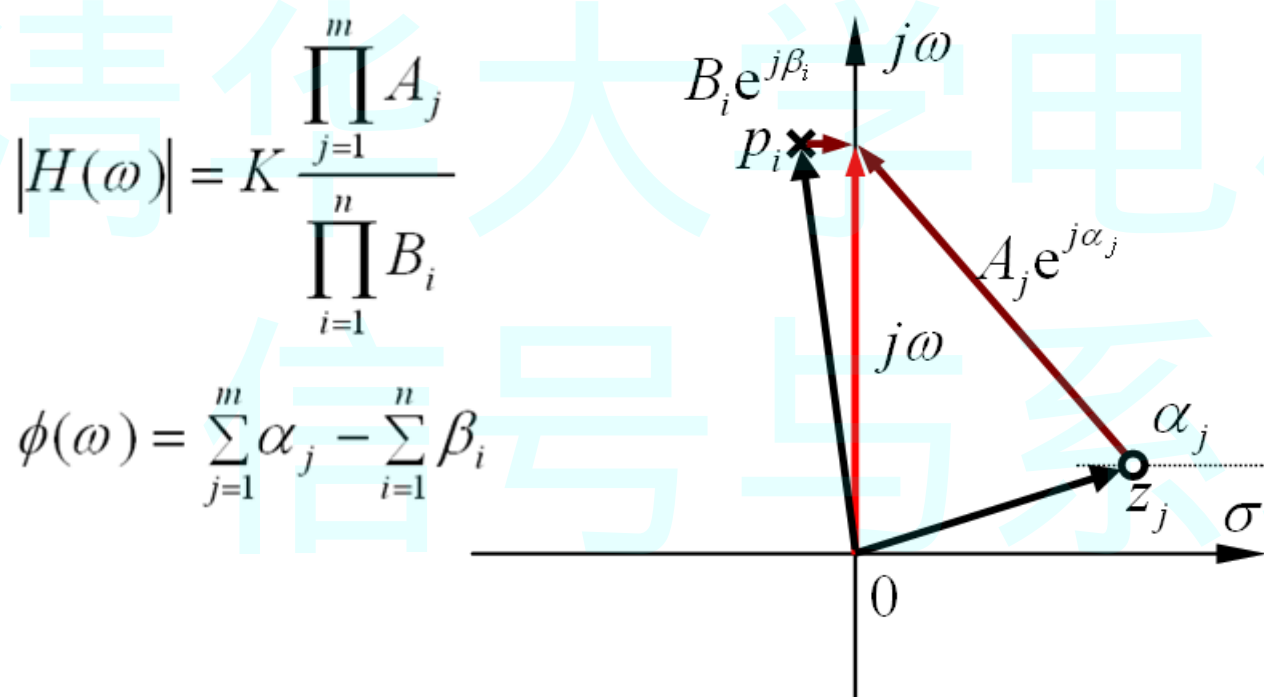
$$|H(\omega)| = K \frac{\prod_{j=1}^m A_j}{\prod_{i=1}^n B_i}$$

$$\phi(\omega) = \sum_{j=1}^m \alpha_j - \sum_{i=1}^n \beta_i$$

$j\omega$  是一个起点在原点的变化向量，当  $\omega$  从  $-\infty$  变化到  $\infty$  时， $j\omega$  的终点沿着虚轴从  $-\infty$  变化到  $\infty$ ， $|H(\omega)| - \omega$  关系为系统频率响应特性的幅频特性； $\phi(\omega) - \omega$  关系即为系统频率响应特性的相频特性。



如果系统有一个很靠近虚轴的零点  $z_j = \sigma_j + j\omega_j$ ，则频率变化到  $\omega = \omega_j$  附近时，由于  $A_j$  的值比较小，系统的幅频特性将有一个波谷。如果系统有一个很靠近虚轴的极点  $p_i = \sigma_i + j\omega_i$ ，则频率变化到  $\omega = \omega_i$  附近时，由于  $B_i$  的值比较小，系统的幅频特性将有一个波峰。

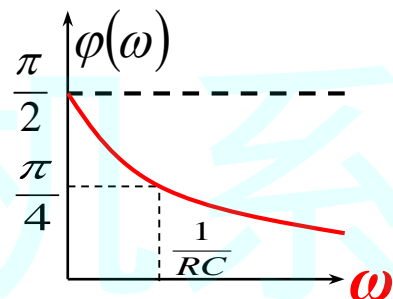
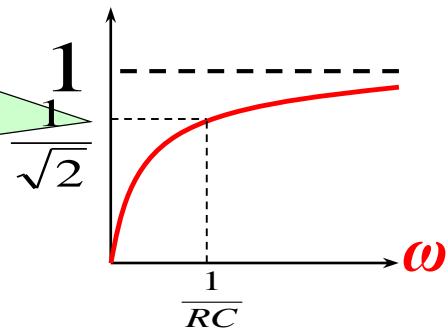
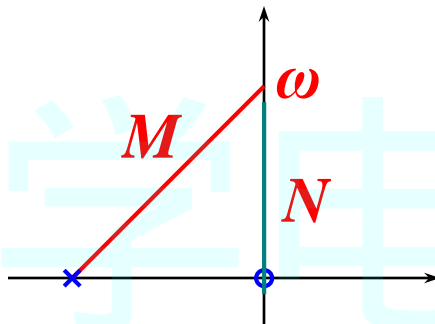


## [例1] 微分电路

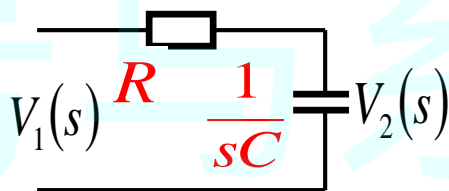
$$V_2(s) = \frac{R}{R + 1/sC} \cdot V_1(s)$$

$$\frac{V_2(s)}{V_1(s)} = \frac{s}{s + 1/RC}$$

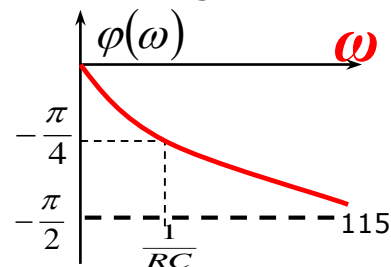
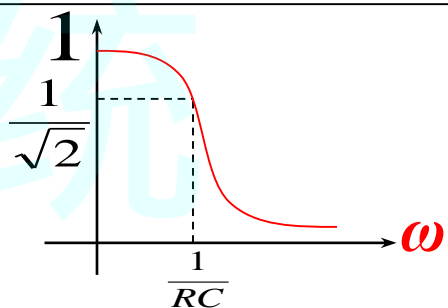
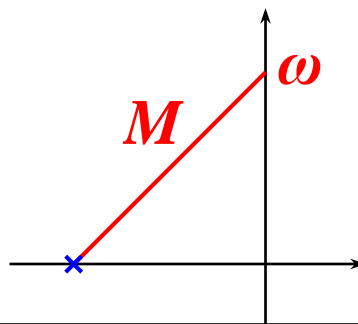
$\omega = 1/RC$  为  
高通网络的  
3dB点



## [例2] 积分电路



$$\frac{V_2(s)}{V_1(s)} = \frac{1}{s + \frac{1}{RC}}$$



**[例3]**  $H(s) = \frac{s}{(s + p_1)(s + p_2)}, \quad p_1 \gg p_2$

由同类性质元件构成的二阶系统，它们的极点都落在实轴上。

$$|H(j\omega)| = \frac{N}{M_1 \cdot M_2}$$

$$\varphi(\omega) = \psi - (\theta_1 + \theta_2)$$

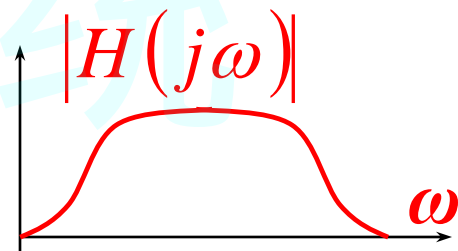
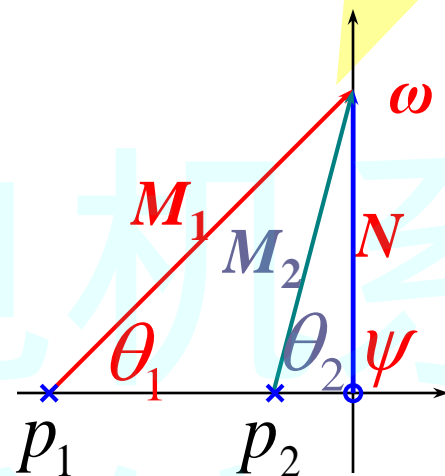
- 当 $\omega$ 较低时， $M_1$ 几乎不随 $\omega$ 变化，

即  $|H(j\omega)| \approx kN/M_2$

开始时 $N$ 很小，然后  $N \approx M_2$ (高通)

- 在中频段， $N \approx M_2$

- 当 $\omega$ 较高时， $|H(j\omega)| \approx 1/M_1$ (低通)

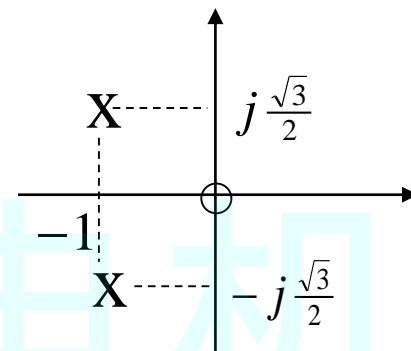


已知某系统函数 $H(s)$ 的零极点分布如图.

若  $h(0^+) = 2,$

$$e(t) = \sin \frac{\sqrt{3}}{2} t \cdot u(t)$$

求系统稳态响应.



[解] 写出系统函数

$$H(s) = \frac{ks}{(s+1)^2 + \left(\frac{\sqrt{3}}{2}\right)^2}$$

$$h(0^+) = \lim_{s \rightarrow \infty} s \frac{ks}{(s+1)^2 + \left(\frac{\sqrt{3}}{2}\right)^2} = k = 2$$

$$H(s) = \frac{2s}{(s+1)^2 + \left(\frac{\sqrt{3}}{2}\right)^2}$$

若  $e(t) = E_m \sin \frac{\sqrt{3}}{2} t$

$$H(j\omega) = |H(j\omega)| e^{j\varphi(\omega)}$$

则系统稳态响应  $r(t) = |H(j\omega_0)| E_m \sin[\omega_0 t + \varphi(\omega_0)]$

$$H\left(j\frac{\sqrt{3}}{2}\right) = H(s) \Big|_{s=j\frac{\sqrt{3}}{2}} = \dots = \frac{\sqrt{3}}{2} e^{j30^\circ}$$

$$r(t) = \frac{\sqrt{3}}{2} E_m \sin\left[\frac{\sqrt{3}}{2} t + 30^\circ\right]$$



## 频响特性

$$e(t) = E_m \sin \omega_0 t \Rightarrow E(s) = \frac{E_m \omega_0}{s^2 + \omega_0^2}$$

$$R(s) = \frac{E_m \omega_0}{s^2 + \omega_0^2} \cdot H(s) \quad \text{假设 } H(s) \text{ 极点都是一阶的}$$

$$= \underbrace{\frac{K_{-j\omega_0}}{s + j\omega_0} + \frac{K_{j\omega_0}}{s - j\omega_0}}_{\text{强迫}} + \underbrace{\frac{K_1}{s - p_1} + \frac{K_2}{s - p_2} + \frac{K_3}{s - p_3} + \dots + \frac{K_n}{s - p_n}}_{\text{自由}}$$

$$K_{-j\omega_0} = (s + j\omega_0)R(s) \Big|_{s=-j\omega_0} = \frac{E_m \omega_0 H(-j\omega_0)}{-2j\omega_0}$$

$$K_{j\omega_0} = (s - j\omega_0)R(s) \Big|_{s=j\omega_0} = \frac{E_m \omega_0 H(j\omega_0)}{2j\omega_0}$$

$$H(j\omega_0) = H_0 e^{j\varphi_0} \Rightarrow H(-j\omega_0) = H_0 e^{-j\varphi_0}$$

$$\Rightarrow \frac{K_{-j\omega_0}}{s + j\omega_0} + \frac{K_{j\omega_0}}{s - j\omega_0} = \frac{E_m H_0}{2j} \left[ -\frac{e^{-j\phi_0}}{s + j\omega_0} + \frac{e^{j\phi_0}}{s - j\omega_0} \right]$$

$$L^{-1}\left(\frac{K_{-j\omega_0}}{s + j\omega_0} + \frac{K_{j\omega_0}}{s - j\omega_0}\right) = \frac{E_m H_0}{2j} \left[ -e^{-j\phi_0} e^{-j\omega_0 t} + e^{j\phi_0} e^{j\omega_0 t} \right]$$

$$= E_m H_0 \sin(\omega_0 t + \phi_0)$$

系统的完全响应为：

$$r(t) = L^{-1}[R(s)] = E_m H_0 \sin(\omega_0 t + \phi_0) + \sum_{i=1}^n K_i e^{p_i t}$$

对于稳定系统，极点应分布在S平面左半平面



稳态响应即第一项

$$r_{ss}(t) = E_m H_0 \sin(\omega_0 t + \phi_0)$$

$$e(t) = E_m \sin \omega_0 t$$

结论：

正弦激励下，稳态响应仍为同频率的正弦信号。

$$\text{其中} \begin{cases} \text{幅频变化} & |H(j\omega_0)| = H_0 \\ \text{相位变化} & \phi_0 \end{cases}$$